Klassifizierung von handgezeichneten Gegenständen mittels künstlicher Intelligenz

Maturaarbeit Kantonsschule am Burggraben St. Gallen

```
9 4 4 4 6 7 2 B 6 4 1 9 6 9 8 9 / V
90 0 1 0 0 1 7 0 1 0 0 0 0 0 0 1 8 1 8 4
0 5 = 0 10 to 10 t
$ 7 M d & B & $ $ $ O = 1 4 B $ $ $ $
BLALPPFFI MARPTEL ~~
```

Vorgelegt durch: Eric Ceglie Vorgelegt bei: Dr. Simon Knaus

Datum des Einreichens: 31. Januar 2020



Inhaltsverzeichnis

| 1 | Einleitung | 2 |
|--------------|------------------------------------------------------------------------------------------------------------------------------------------|-----------------------|
| 2 | Der Quick, Draw! Datensatz2.1 Aufbau der Daten2.2 Umformen der Daten2.3 Anwendung des Bresenham-Algorithmus2.4 Bewertung des Datensatzes | 3 4 6 6 8 |
| 3 | Das neuronale Netz | 10 |
| | 3.1 Die Aktivierung | 10 |
| | 3.2 Die Fehlerfunktion | 11 11 |
| 4 | Optimierung des Trainings | 16 |
| 4 | 4.1 Fluch der Dimensionalität | 16 |
| | 4.2 Grösse und Auflösung der Trainingsdaten | 17 |
| | 4.3 Die Struktur des neuronalen Netzes | 17 |
| | 4.4 Die Lernrate und der Impuls | 18 |
| | 4.5 Dropout Schichten | 19 |
| 5 | Ergebnisse | 20 |
| | 5.1 Konfusionsmatrix | 22 |
| | 5.2 Leistung in der realen Welt | 23 |
| 6 | Fazit | 25 |
| 7 | Reflexion | 26 |
| \mathbf{A} | Konfusionsmatrix | 30 |
| В | Quellcode: Compiler | 31 |
| \mathbf{C} | Quellcode: Training | 37 |
| D | Quellcode: Berechnung einer Konfusionsmatrix | 47 |
| \mathbf{E} | Quellcode: Evaluierung von Daten | 52 |

1 Einleitung

Maschinelles Lernen ist heute so präsent wie nie zuvor. Während das Konzept der künstlichen Intelligenz erst im Sommer 1956 mit der Dartmouth Conference [16] offiziell als akademisches Fachgebiet anerkannt wurde und vor 20 Jahren noch mit massiven Imageproblemen zu kämpfen hatte, ist es heute nicht mehr aus unserem Alltag wegzudenken. Nicht nur für soziale Medien, für wirtschaftliche Marktanalysen, für die Medizin oder für unsere Smartphones ist maschinelles Lernen von hoher Bedeutung, sondern auch Fahrzeuge sind schon fast in der Lage völlig autonom im herkömmlichen Strassenverkehr zu manövrieren. Unter den verschiedene Methoden des maschinellen Lernens wurden künstliche neuronale Netze nach dem biologischen Vorbild des Gehirns über die letzten Jahre immer bekannter und erfolgreicher. Zu diesem Aufschwung haben bessere Computer und vor allem die Verfügbarkeit von riesigen Datenmengen beigetragen.

Es gab verschiedene Gründe, die mich zu meiner Themenwahl führten. Zum einen konnte ich mich aufgrund der Aktualität dieses Themas schon länger für das maschinelle Lernen im Allgemeinen begeistern, doch was mich stets am meisten interessierte, war die Technik hinter den Maschinen. Es waren vor allem die theoretischen Konzepte der Mathematik und Informatik, die meine Aufmerksamkeit erregten und da ich schon seit Langem wissen wollte, wie maschinelles Lernen mit künstlichen neuronalen Netzen funktioniert, habe ich mich dazu entschieden, die Maturaarbeit als Chance dafür zu nutzen. Zudem war mir schon vor der Themenwahl bewusst, dass ich neben der schriftlichen Arbeit auch gerne ein Produkt erstellen würde. Als ich dann begann die Programmiersprache Python kennenzulernen, führte dies schnell zur endgültigen Entscheidung eine künstliche Intelligenz zu programmieren.

Das Hauptziel meiner Arbeit war das Erstellen eines Programms mit der Programmiersprache Python zur Klassifizierung von handgezeichneten Gegenständen mit einer künstlichen Intelligenz, wobei mich unter anderem der riesigen Quick, Draw! Datensatz von Google inspirierte. Um ein möglichst effektives Programm zu erstellen, habe ich mich zwar dazu entschieden, die äusserst bekannte Programmbibliothek PyTorch zu verwenden, doch trotzdem war mein zusätzliches Ziel die grundlegende Mathematik des Trainings eines einfachen neuronalen Netzes mit dem Gradientenabstiegsverfahren als Optimierungsalgorithmus zu verstehen.

Zuerst wird in Kapitel 2 meiner Maturaarbeit die Struktur und der Umgang mit dem Quick, Draw! Datensatz erläutert. In Kapitel 3 wird dann ein einfaches neuronales Netz mathematisch beschrieben und es werden die unter anderem auch von PyTorch verwendeten Gleichungen für das Gradientenabstiegsverfahren hergeleitet. In Kapitel 4 werden verschiedenste, während meiner praktischen Arbeit verwendete, Möglichkeiten zur Optimierung des Trainings eines neuronalen Netzes vorgestellt. Zum Schluss werden in Kapitel 5 die Ergebnisse meiner praktischen Arbeit zusammengetragen, vorgestellt und analysiert. Zudem befinden sich im Anhang die Quellcodes zu den vier von mir erstellten und verwendeten Programmen, die einen wesentlichen Teil meiner Maturaarbeit ausmachen. Deshalb wurden der Abgabe der schriftlichen Arbeit auch Kopien der vier Programme beigelegt.

2 Der Quick, Draw! Datensatz

Quick, Draw! [13] (kurz: QD) ist ein Onlinespiel, welches von Google, insbesondere für Forschungszwecke, erstellt wurde. Dabei soll man einen vorgegebenen Begriff entweder solange zeichnen, bis ihn der Computer mit Hilfe von einer künstlichen Intelligenz errät, oder bis die gegebene Zeit abläuft. Oft erkennt die Maschine den gezeichneten Gegenstand sogar schneller, als man es von einem Menschen erwarten könnte, während doch sehr selten auch der Fall zustande kommen kann, dass für unser Auge offensichtliche Zeichnungen von dem Computer nicht erfolgreich klassifiziert werden können.

Dieses Spiel ist schon seit November 2016 für jeden im Internet frei verfügbar und es ist auch durchaus bekannt geworden, wodurch Google über die Jahre äusserst viele Daten von menschlich gezeichneten Gegenständen sammeln konnte. Weil dieses Projekt von Anfang an der Forschung dienen sollte, ist der riesige QD Datensatz [1] frei zugänglich und wird auch ziemlich strukturiert in verschiedenen Formaten bereitgestellt. Mit über 50 Millionen Bildern, die in 345 Kategorien eingeteilt sind, gehört der QD Datensatz zu den grössten öffentlich zugänglichen und strukturierten Datensammlungen. Im folgenden Kapitel wird der Aufbau des Datensatzes genauer erläutert.

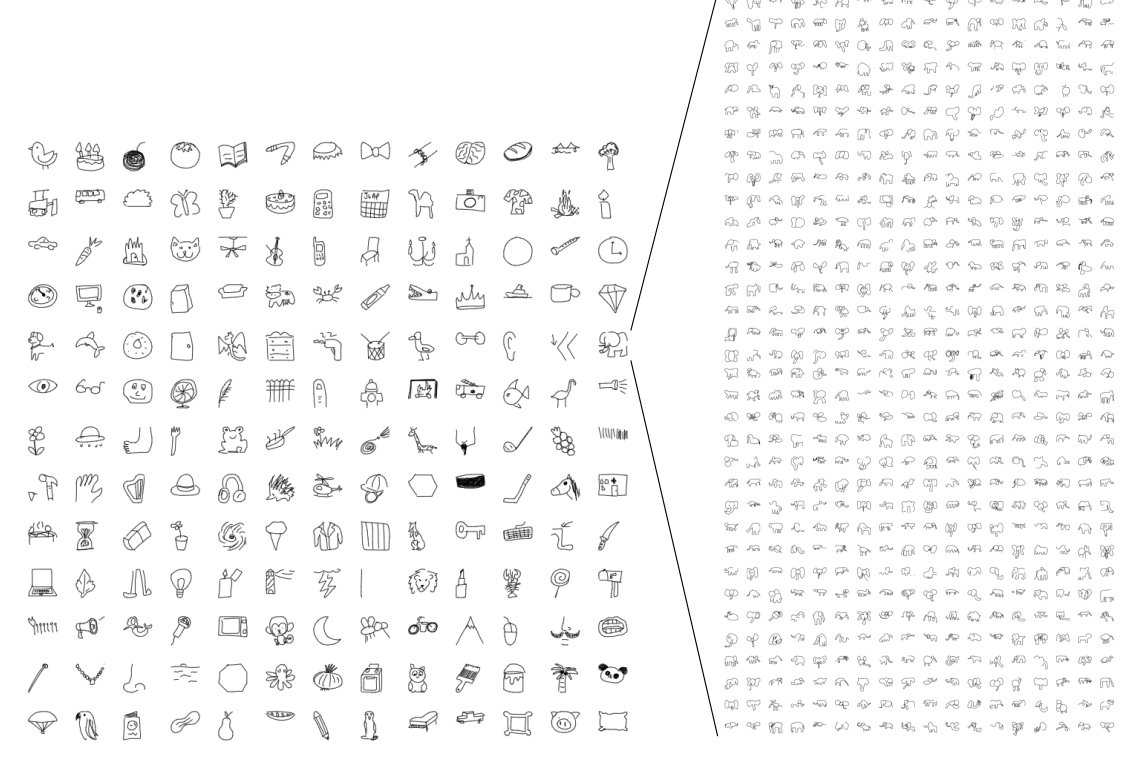


Abbildung 1: Ausschnitt aus dem Quick, Draw! Datensatz

Quelle: https://quickdraw.withgoogle.com/data

2.1 Aufbau der Daten

Google stellt die Daten in drei verschiedenen Formaten zur Verfügung:

Numpy Rastergrafik (.npy): Dieses Format wäre eigentlich optimal für meine Arbeit gewesen, wenn die einzelnen Bilder nicht schon auf 28×28 Pixel reduziert wären. Da Rastergrafik Dateien jeden Pixel eines Bildes speichern, werden diese schnell extrem gross. Deshalb hat sich Google dazu entschlossen bei den .npy Dateien die Auflösung zu reduzieren. Doch die originalen 256×256 Bilder werden in anderen, ressourceneffizienteren Formaten zur Verfügung gestellt.

Newline-delimited JSON (.ndjson): Newline-delimited JSON [12] (kurz: NDJSON) ist eine Variante des JSON streaming Verfahrens, was wiederum eine Erweiterung des klassischen JavaScript Object Notation (kurz: JSON) Datenformats bildet. Da die Verarbeitung der Daten durch Programme bei NDJSON, anders als bei herkömmlichen JSON Daten, zeilenweise geschieht, sind diese grundsätzlich flexibler. In diesem Format werden die originalen 256×256 Bilder abgespeichert und dies geschieht auch ziemlich ressourceneffizient, was später im Code 2 noch genauer ersichtlich wird. Aufgrund der hohen Flexibilität und Kompatibilität des NDJSON Formats mit Python und aufgrund der Erhaltung der ursprünglichen Bildgrösse, habe ich während meiner Arbeit dieses Format verwendet.

Binärdateien (.bin): Zusätzlich gäbe es noch das bezüglich des Ladens der Daten etwas effizientere Format der Binärdateien, doch aufgrund von persönlichen Präferenzen habe ich mich für das NDJSON Format entschieden.

```
{
    "key_id": "5891796615823360",
    "word": "apple",
    "countrycode": "AE",
    "timestamp": "2017-03-01 20:41:36.70725 UTC",
    "recognized": True,
    "drawing": [[[129, 128, 129, 129, 130, 130, 131, 132, 132, ...], ...], ...]
}
```

Code 1: Beispiel einer Dateneinheit des QD-Datensatzes

Code 1 zeigt einen exemplarischen Ausschnitt des QD-Datensatzes. Hier wird eine mögliche Dateneinheit der apple.ndjson Datei gezeigt. Wird diese Datei mit Python geladen, so kann das Programm dann mit verschiedenen Schlüsselwörtern gezielt auf die gewollten Inhalte von bestimmten Dateneinheit zugreifen. Mögliche Schlüsselwörter sind:

- key id: liefert eine für jede Dateneinheit einzigartige Zahl
- word: liefert den Namen des zugehörigen Gegenstandes
- countrycode: liefert den Standort der Entstehung des Bildes
- timestamp: liefert den Zeitpunkt der Entstehung des Bildes

- recognized: gibt an, ob der gezeichnete Gegenstand von Googles KI richtig erkannt wurde
- drawing: liefert den Bildarray des zugehörigen Gegenstandes

Dabei sind word, drawing und recognized die einzig relevanten Schlüsselwörter für meine Arbeit. Mit dem Schlüssel drawing werden die benötigten Informationen zur Rekonstruktion des Bildes extrahiert. Danach kann die entstandene Rastergrafik mit dem Schlüssel word dem entsprechenden Gegenstand zugeordnet werden, was erst ein überwachtes Lernen der KI ermöglicht. Das Schlüsselwort recognized wäre zwar nicht zwingend notwendig, doch damit kann die Qualität der Trainingsdaten erhöht werden, was durchaus zu einem besseren Ergebnis meiner KI beitragen kann.

Code 2: Beispiel eines Bildarrays aus dem QD-Datensatz

Werfen wir nun einen genaueren Blick auf die Struktur der zur Verfügung gestellten Bildarrays, wobei Code 2 wiederum einen exemplarischen Ausschnitt repräsentiert. Vorab wäre aber noch erwähnenswert, dass die .ndjson Daten sogar deutlich weniger Speicherkapazität einnehmen, als die .npy Rastergrafik Daten und dabei trotzdem viel mehr Informationen enthalten, wodurch sie eine um ein vielfaches höhere Bildqualität bieten können, wenn man die Daten nur richtig kompiliert.

Ein Bild wird jeweils in einzelne Pinselstriche gegliedert, wobei ein Pinselstrich in dem Spiel mit dem Drücken der linken Maustaste begonnen wird und solange anhält, bis die Maustaste wieder losgelassen wird. Dabei werden während jedem Pinselstrich in bestimmten Zeitabschnitten Δt die momentane Position x_i und y_i , sowie die momentane, für meine Arbeit eher uninteressante, Zeit t_i festgehalten. Dieses Konzept ermöglicht es viele Informationen relativ kompakt (vor allem im Vergleich zur den eben genannten Rasterdateien) zu speichern. Jedoch wird dadurch zugleich die Arbeit mit den Daten etwas komplizierter.

Für meine Arbeit musste ich die wichtigsten Informationen aus dem Datensatz extrahieren und die einzelnen Bilder in eine beliebige $n \times n$ Rastergrafik umwandeln. Zudem habe ich ein eigenes System zur richtigen Beschriftung der Bilder erarbeitet, welches nicht nur mit Strings, sondern auch mit Zahlen funktioniert, damit es mit der Ausgabe eines neuronalen Netzes kom-

patibel ist. In den folgenden Kapiteln wird das von mir erstellte Verfahren genauer erläutert. Der komplette Quellcode für meinen Compiler befindet sich im Anhang B.

2.2 Umformen der Daten

Bei der Zusammenstellung von einem Datensatz müssen im ersten Schritt die von Google bereitgestellten Informationen in einheitliche Rastergrafiken eingebettet werden. Komfortabler Weise habe ich mich bei den Bildern für die Hintergrundfarbe Schwarz entschieden, da PyTorch eine Funktion hat, die es erlaubt einen Array beliebiger Form gleich beim Erstellen mit lauter Nullen zu füllen.

Somit wird zuerst ein dreidimensionaler, mit Nullen gefüllter Array $data_inputs$ erstellt, wobei die ersten zwei Dimensionen die Breite und Höhe des Bildes darstellen und die dritte Dimension als Farbkanal dient. Danach werden für jeden vorhandenen Pinselstrich die im Zeitabstand Δt gespeicherten Positionen ermittelt und der Wert des $data_inputs$ Arrays wird an dieser Stelle mit einer Eins ersetzt.

Das eben beschriebene Verfahren wird mit Code 3 veranschaulicht. Abbildung 2 zeigt ein Beispielbild eines Apfels, nach der Anwendung von diesem Verfahren auf die Rohdaten. Da die gezeichneten Punkte nicht kontinuierlich, sondern in einem gewissen Zeitabstand Δt von Google abgespeichert wurden, ist das Ergebnis noch zu wenig detailliert. Man erkennt zwar eine grobe Form, doch für meine Arbeit wird ein genaueres Bild benötigt. Der dabei verwendete Bresenham-Algorithmus und seine Implementierung in Python werden im folgenden Kapitel erläutert.

```
def Funktion(data_raw):
    data_inputs = torch.zeros(1, 256, 256) # erstellt einen 3 dimensionalen Array
    der Form: (Farbkanal, Höhe, Breite)

for stroke in data_raw["drawing"]:
    for j in range(len(stroke[0])):
        xp = stroke[0][j]
        yp = stroke[1][j]
        data_inputs[0][yp][xp] = 1
        del xp
        del yp

return data_inputs
```

Code 3: Funktion zur Einbettung der Rohdaten in eine einheitlichen Rastergrafik (ohne Anwendung des Bresenham-Algorithmus)

2.3 Anwendung des Bresenham-Algorithmus

Da die gegebenen Punkte eines Bildes jeweils der Reihe nach und in einzelne Pinselstriche gegliedert sind, kann man die ursprüngliche Zeichnung sehr gut rekonstruieren. Das zu lösende Problem wird mit Abbildung 3 veranschaulicht und besteht darin, aus zwei gegebenen Punkten



Abbildung 2: Exemplar eines Bildes vor Anwendung des Bresenham-Algorithmus

eine Linie zu berechnen, die mit einzelnen Pixeln dargestellt werden kann.

Einer der bekanntesten Algorithmen zur Lösung von diesem Problem ist der sogenannte Bresenham-Algorithmus [6], der mit einer relativ geringen Komplexität und mit einer sehr hohen Rechengeschwindigkeit punkten kann.

Code 4 berechnet im Gegensatz zu Code 3 auch eine Verbindungslinie der gegebenen Punkte. Diese Linien sind aneinanderhängend und werden nur durch einen neuen Pinselstrich unterbrochen. Dadurch kann aus sehr reduzierten Daten ein dem Original extrem nahekommendes Bild entstehen, wie Abbildung 4 veranschaulicht.

Meine Implementation des Bresenham-Algorithmus in Python beruht ausschliesslich auf einen Artikel der Webseite RogueBasin [2]. Die von mir verwendete Funktion bresenham_line() ist zudem im Anhang B ersichtlich.

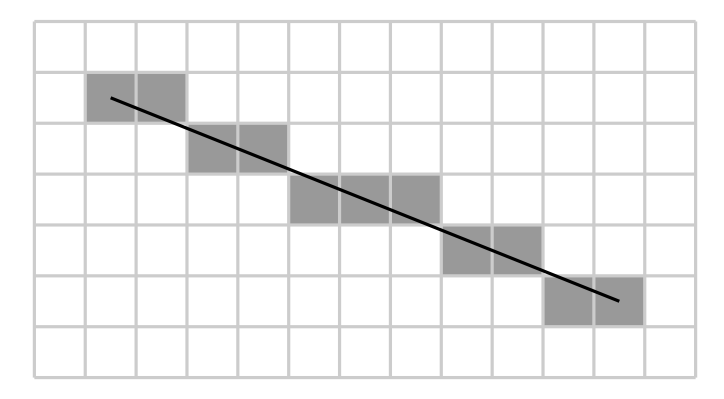


Abbildung 3: Rasterung einer Linie mit Anfangspunkt (1,1) und Endpunkt (11,5)

Quelle: https://commons.wikimedia.org/wiki/File:Bresenham.svg



Abbildung 4: Exemplar eines Bildes nach Anwendung des Bresenham-Algorithmus

```
def Funktion(data_raw):
   data_inputs = torch.zeros(1, 256, 256) # erstellt einen 3 dimensionalen Array
   der Form: (Farbenkanal, Höhe, Breite)
   for stroke in data_raw[i]["drawing"]:
      x0 = stroke[0][0]
      y0 = stroke[1][0]
      for j in range(0, len(stroke[0])):
           x1 = stroke[0][j]
           y1 = stroke[1][j]
           line = bresenham_line(x0, y0, x1, y1)
                                                   # die Funktion bresenham_line()
    benötigt zwei Anfangspunkt als Parameter und gibt eine Verbindunglinie aus
           for xp, yp in line:
               data_inputs[0][yp][xp] = 1
           x0 = x1
           y0 = y1
  return data_inputs
```

Code 4: Funktion zur Einbettung der Rohdaten in eine einheitlichen Rastergrafik (mit Anwendung des Bresenham-Algorithmus)

2.4 Bewertung des Datensatzes

Um eine gute künstliche Intelligenz zur Bildklassifizierung mit Hilfe des Gradientenabstiegsverfahrens (Kapitel 3.3) zu entwickeln, werden viele qualitativ hochwertige Trainingsdaten benötigt. Deshalb sollte man schon vor dem Trainieren eines neuronalen Netzes evaluieren, ob der gegebene Datensatz erfolgversprechend ist.

Der Quick, Draw! Datensatz bietet eine überwältigende Quantität. Durchschnittlich beinhaltet jede der insgesamt 345 Kategorien mehr als 144'000 verschiedene Trainingsbilder, was zu ungefähr 50 Million Zeichnungen von verschiedensten Gegenständen führt [1]. Im Vergleich

dazu, hat der auch äusserst bekannte MNIST Datensatz durchschnittlich nur ungefähr 7000 verschiedene Trainingsbilder pro Kategorie [14].

Zudem bietet der Datensatz von Google auch eine sehr gute Qualität. Nicht nur die Auflösung der Bilder von 256×256 Pixel, sondern auch das Speicherkapazität schonende Format tragen dazu bei. Dadurch ist es zwar leider etwas umständlich, die einzelnen Bilder vom .ndsjon Format in eine Rastergrafik umzuwandeln, jedoch konnte ich dieses Problem mit meinem Compiler (Anhang B) gut bewältigen.

3 Das neuronale Netz

In den Kapiteln 3.1, 3.2 und 3.3 wurde ein vereinfachtes neuronales Netz angenommen mit n Reizen in der Eingabeschicht und mit einer Aktivierung $\hat{y}(\vec{\alpha}, \beta)$ in der Ausgabeschicht, wobei sogenannte verdeckte Schichten (englisch hidden layers) vernachlässigt wurden. Abbildung 5 veranschaulicht diesen Sachverhalt.

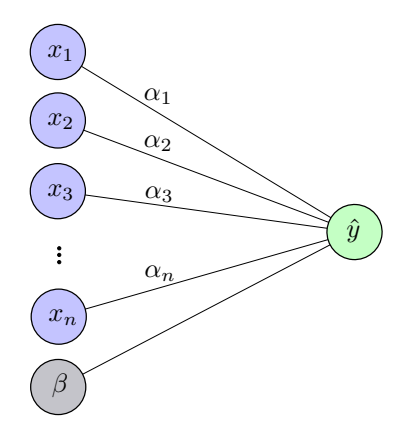


Abbildung 5: Vereinfachter Aufbau eines neuronalen Netzes

Dabei werden die Reize mit dem Vektor $\vec{X} = \begin{pmatrix} x_1 & x_2 & x_2 & \dots & x_n \end{pmatrix}^\top$, die Gewichte mit dem Vektor $\vec{\alpha} = \begin{pmatrix} \alpha_1 & \alpha_2 & \alpha_2 & \dots & \alpha_n \end{pmatrix}^\top$ und die gesamten Parameter des neuronalen Netzes mit dem Vektor $\vec{\theta} = \begin{pmatrix} \alpha_1 & \alpha_2 & \alpha_2 & \dots & \alpha_n & \beta \end{pmatrix}^\top$ dargestellt.

3.1 Die Aktivierung

Da es sich um ein lineares neuronales Netz handelt, lässt sich die Übertragung $\Psi(\vec{\alpha}, \beta)$ auf ein Neuron entweder als Summe oder mit dem Skalarprodukt wie folgt definieren:

$$\Psi(\vec{\alpha}, \beta) = \sum_{i=1}^{n} \alpha_i x_i + \beta = \langle \vec{\alpha}, \vec{X} \rangle + \beta \tag{1}$$

Für die Aktivierung $\hat{y}(\vec{\alpha}, \beta)$ des Ausgabeneurons wird noch eine Fehlerfunktion benötigt, wobei äusserst viele zur Auswahl stehen. Ich habe mich während meiner Arbeit für die im maschinellen Lernen weit verbreitete [5] und erfolgversprechende [9] Rectifier (auf Deutsch: Gleichrichter) Funktion entschieden, die auch oft als rectified linear unit (kurz ReLU) bezeichnet wird. Die ReLU Funktion ist wie folgt definiert:

$$R(x) = \max(0, x) = \begin{cases} x & \text{wenn } x > 0, \\ 0 & \text{wenn } x \le 0. \end{cases}$$
 (2)

Da die Ableitung der Aktivierungsfunktion später noch benötigt wird, möchte ich hier gleich

die Ableitung der ReLU Funktion definieren. Da die Funktion R(x) nur für R(x) = 0 nicht differenzierbar ist, kann an dieser Stelle entweder die Ableitung R'(x) = 0 oder R'(x) = 1 willkürlich gewählt werden:

$$R'(x) = \begin{cases} 1 & \text{wenn } x > 0, \\ 0 & \text{wenn } x \le 0. \end{cases}$$
 (3)

Führt man nun zuerst die Übertragungsfunktion $\Psi(\vec{\alpha}, \beta)$ und danach die Aktivierungsfunktion R(x) aus, so bekommt man die Aktivierung $\hat{y}(\vec{\alpha}, \beta)$ des Ausgabeneurons:

$$\hat{y}(\vec{\alpha}, \beta) = R(\Psi(\vec{\alpha}, \beta)) = \max(0, \langle \vec{\alpha}, \vec{X} \rangle + \beta) \tag{4}$$

Die Funktionen $\hat{y}(\vec{\alpha}, \beta)$ und $\Psi(\vec{\alpha}, \beta)$ wurden in Abhängigkeit zu $\vec{\alpha}$ und β geschrieben, da man später beim Gradientenabstiegsverfahren im Kapitel 3.3 nach den einzelnen Gewichten und nach dem Bias partiell ableiten muss.

3.2 Die Fehlerfunktion

Um ein neuronales Netz zu trainieren, muss die momentane Genauigkeit einer KI ermittelt werden können. Dafür wird die Fehlerfunktion $F(\vec{\alpha}, \beta)$ eingeführt:

$$F(\vec{\alpha}, \beta) = (\hat{y}(\vec{\alpha}, \beta) - y)^2 \tag{5}$$

Das Quadrieren der Differenz zwischen dem Ausgabewert $\hat{y}(\vec{\alpha}, \beta)$ und dem erwarteten Wert y ist äusserst wichtig für das folgende Gradientenabstiegsverfahren. Weil dadurch stets $F(\vec{\alpha}, \beta) \geq 0$ gilt, ist die Differenz und somit die Ungenauigkeit der KI beim globalen Minimum am geringsten. Deshalb versucht man beim Training des neuronalen Netzes dieses globale Minimum oder, was viel realistischer ist, eines der lokalen Minima der Fehlerfunktion $F(\vec{\alpha}, \beta)$ zu finden.

3.3 Das Gradientenabstiegsverfahren

Bei dem sogenannten Gradientenabstiegsverfahren versucht man sich durch wiederholtes Anwenden des Verfahrens über mehrere Epochen einem Minimum einer Funktion $F: \mathbb{R}^{n+1} \to \mathbb{R}$, $\vec{\alpha}, \beta \mapsto F(\vec{\alpha}, \beta)$ zu nähern. Da der Gradient $\nabla F(\vec{\alpha}, \beta)$ stets in die steilste Richtung an der momentanen Stelle zeigt, kann man sich schnellst möglich einem Minimum nähern, indem man diesen Gradienten vom Parametervektor $\vec{\theta}$ subtrahiert.

In den folgenden Unterkapiteln wird dieses Optimierungsverfahren zuerst im weniger dimensionalen Raum veranschaulicht und danach für das (n+1)-dimensinale neuronale Netz berechnet.

3.3.1 Veranschaulichung im weniger dimensionalen Raum

Zur Veranschaulichung lässt sich das Optimierungsproblem auf eine Funktion $g: \mathbb{R} \to \mathbb{R}$, $x \mapsto g(x)$ reduzieren, wobei im folgenden Beispiel die Polynomfunktion

$$g(x) = \frac{(x+3.5)(x+2)(x+0.5)(x-1)(x-3)(x+1)}{60} + 4$$
 (6)

gewählt wurde. Abbildung 6 zeigt, dass die Funktion g(x) ein globales Minimum und zwei lokale Minima aufweist.

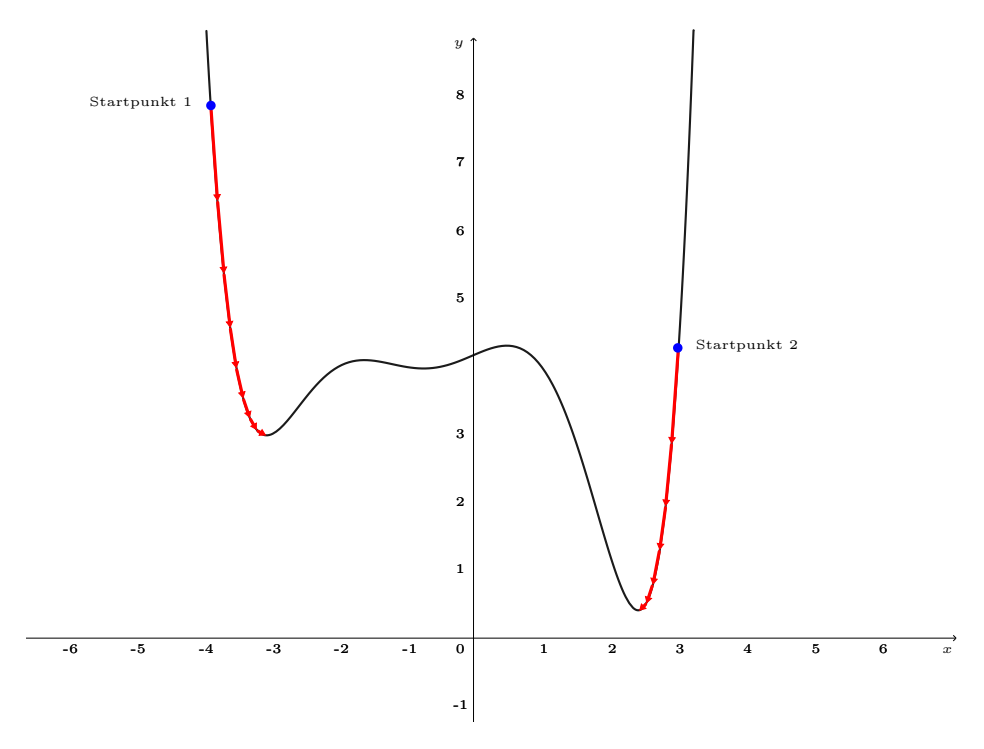


Abbildung 6: Das Gradientenabstiegsverfahren ohne Impuls bei der Polynomfunktion $g(x) = \frac{(x+3.5)(x+2)(x+0.5)(x-1)(x-3)(x+1)}{60} + 4$ mit zwei verschiedenen Startpunkten

Nun lässt sich durch das Gradientenabstiegsverfahren ein Minimum der Funktion finden, wobei ein beliebiger Startpunkt gewählt werden kann, was jedoch zu unterschiedlichen Resultaten führen könnte.

Wählt man einen zufälligen Startpunkt x_0 nähert man sich durch wiederholtes Subtrahieren der Ableitung vom letzten x Wert einem Minimum der Funktion g(x), wenn man die Ableitung vor dem Subtrahieren mit einer passenden Lernrate λ multipliziert. Der x Wert zur Wiederholung (t+1) ist rekursiv definiert als

$$x_{t+1} = x_t - \lambda g'(x_t), \tag{7}$$

wobei $t \ge 0$ und $\lambda > 0$.

Zudem sollte die Lernrate nicht zu gross sein, da dabei die Gefahr besteht, das Ziel zu überspringen. λ sollte jedoch auch nicht zu klein gewählt werden, da ansonsten der Algorithmus zu lange brauchen würde, um zu einem Minimum zu gelangen.

Wendet man dieses Verfahren später im maschinellen Lernen an, wird noch ein Impuls hinzukommen, der es ermöglicht schlechte lokale Minima zu überspringen. Würde man in Abbildung 6 bei Startpunkt 1 mit einem passenden Impuls das Verfahren anwenden, so würden die schlechten lokalen Minima übersprungen werden und man würde das globale Minimum erreichen.

Hängt nun eine Funktion $h: \mathbb{R}^2 \to \mathbb{R}$ von zwei Variablen ab, als Beispiel $h(x,y) = x^2 + y^2$, so lässt sich diese Funktion durch wiederholtes Subtrahieren des Gradienten $\nabla h(x,y)$ auch minimieren. Die Werte der Variablen zur Wiederholung (t+1) sind dann rekursiv definiert als

$$\begin{pmatrix} x_{t+1} \\ y_{t+1} \end{pmatrix} = \begin{pmatrix} x_t \\ y_t \end{pmatrix} - \lambda \nabla h(x_t, y_t),$$
 (8)

wobei

$$\nabla h(x,y) = \begin{pmatrix} \frac{\partial h}{\partial x} \\ \frac{\partial h}{\partial y} \end{pmatrix}, \tag{9}$$

 $t \ge 0$ und $\lambda > 0$.

Dieses Prinzip lässt nun sich auf ein neuronales Netz übertragen, um die Fehlerfunktion $F(\vec{\alpha}, \beta)$ zu minimieren, die von (n+1) verschiedenen Variablen abhängt.

3.3.2 Die Berechnung des Gradienten der Fehlerfunktion

Um beim Training eines neuronalen Netzes die Gewichte mit dem Gradientenabstiegsverfahren zu optimieren, muss der Gradient der Fehlerfunktion berechnet werden. Leitet man die Funktion $F(\vec{\alpha}, \beta)$ nach dem Gewicht α_n ab, so folgt aus Gleichung (3) und der Kettenregel:

$$\frac{\partial F(\vec{\alpha}, \beta)}{\partial \alpha_n} = \begin{cases}
2(\hat{y}(\vec{\alpha}, \beta) - y)x_n = 2(\langle \vec{\alpha}, \vec{X} \rangle + \beta - y)x_n & \text{wenn } \Psi(\vec{\alpha}, \beta) > 0, \\
0 & \text{wenn } \Psi(\vec{\alpha}, \beta) \le 0.
\end{cases}$$
(10)

Analog ergibt sich die partielle Ableitung nach dem Bias β :

$$\frac{\partial F(\vec{\alpha}, \beta)}{\partial \beta} = \begin{cases}
2(\hat{y}(\vec{\alpha}, \beta) - y) = 2(\langle \vec{\alpha}, \vec{X} \rangle + \beta - y) & \text{wenn } \Psi(\vec{\alpha}, \beta) > 0, \\
0 & \text{wenn } \Psi(\vec{\alpha}, \beta) \le 0.
\end{cases}$$
(11)

Der Gradient der Fehlerfunktion ist demnach definiert als

$$\nabla F(\vec{\alpha}, \beta) = \begin{pmatrix} \frac{\partial F(\vec{\alpha}, \beta)}{\partial \alpha_1} & \frac{\partial F(\vec{\alpha}, \beta)}{\partial \alpha_2} & \frac{\partial F(\vec{\alpha}, \beta)}{\partial \alpha_3} & \dots & \frac{\partial F(\vec{\alpha}, \beta)}{\partial \alpha_n} & \frac{\partial F(\vec{\alpha}, \beta)}{\partial \beta} \end{pmatrix}^{\top}.$$
 (12)

Ferner ist zu beachten, dass aufgrund der ReLU Funktion ein theoretisches Problem beim Optimierungsprozess besteht, wenn die Bedingung $\Psi(\vec{\alpha}, \beta) \leq 0$ zu früh durch Zufall anstatt durch wiederholtes Anwenden des Algorithmus erreicht wird. Dieses Problem ist auch bekannt

unter dem Namen dying ReLU [15] und es lässt sich in der Praxis auf verschiedenste Wege lösen. Obwohl ich während meiner praktischen Arbeit nie mit diesem Problem zu kämpfen hatte, möchte ich hier zumindest zwei Lösungsansätze besprechen.

Es gäbe zum Beispiel die sehr einfache Möglichkeit bei der zufälligen Initialisierung der Parameter für den Bias β eine genug grosse Zahl zu wählen, um zu vermeiden, dass der Fall $\Psi(\vec{\alpha}, \beta) \leq 0$ zu früh durch Zufall eintritt.

Zudem lässt sich das Problem aber auch mit einem sogenannten stochastischen Gradientenabstiegsverfahren (kurz SGD) beheben [15, Seite 6], was auch in PyTorch direkt in die Optimierungsfunktion integriert wurde. Dies könnte ein Grund dafür sein, dass ich bis zum theoretischen
Teil meiner Arbeit gar nicht auf das dying ReLU Problem aufmerksam wurde, denn ich durfte
von Anfang an die Vorzüge des SGD geniessen.

3.3.3 Der Impuls

Der Impuls μ gibt an, wie stark beim Training eines neuronalen Netzes die Gradienten der vorherigen Epochen berücksichtigt werden sollen. Ein passender Impuls erlaubt es dem Algorithmus beim Gradientenabstiegsverfahren schlechte lokale Minima viel einfacher zu überspringen und somit mit höherer Wahrscheinlichkeit dem globalen Minimum näher zu kommen.

Meine empirische Erfahrung zeigt, dass ein Impuls von ungefähr 0.9 gute Ergebnisse verspricht, wobei $0 \le \mu \le 1$. Diese Erkenntnis wird unter anderem auch von Ning Qian [18, Seite 149] bestätigt.

3.3.4 Berechnung der neuen Parameter

Mit dem Gradienten der Fehlerfunktion und der Einführung eines Impulses μ lassen sich nun die Parameter $\vec{\theta}$ einer beliebigen Epoche (t+1) des Trainings rekursiv definieren als

$$\vec{v}_{t+1} = \mu \vec{v}_t - \lambda \nabla F(\vec{\alpha}_t, \beta_t)$$
(13a)

$$\vec{\theta}_{t+1} = \vec{\theta}_t + \vec{v}_{t+1},\tag{13b}$$

wobei

$$\vec{v}_0 = \vec{0},$$

 $t \ge 0$,

 $\lambda > 0$,

$$\mu \in [0,1].$$

In der Programmbibliothek PyTorch [3] basiert die Implementation des Gradientenabstiegsverfahrens auf den Formeln aus der Arbeit On the importance of initialization and momentum

in deep learning. Dadurch entsprechen die von mir hergeleiteten Gleichungen 13 den von Py-Torch und somit auch den für meine praktische Arbeit verwendeten Formeln [19, Seite 2] für den Optimierungsalgorithmus.

4 Optimierung des Trainings

Um eine erfolgversprechende künstliche Intelligenz zu entwickeln, braucht es mehr als einen grundsätzlich funktionierenden Lernalgorithmus, denn dieser beruht auf verschiedenen Parameter, die anfangs definiert werden müssen.

Beispiele für solche Parameter, die in den folgenden Unterkapiteln besprochen werden, sind die Auflösung der Trainingsbilder, die Lernrate und der Impuls. Die Suche nach den passenden sogenannten Hyperparametern wird auch Hyperparameteroptimierung genannt.

Doch auch die Struktur des neuronalen Netzes spielt eine wesentliche Rolle, wobei eine passende Anzahl von verdeckten Schichten und von Neuronen in diesen Schichten zu finden ist. Zudem kann auch das Problem des sogenannten Overfittings auftreten, was sich jedoch ziemlich leicht mit Dropout Schichten beheben lässt.

4.1 Fluch der Dimensionalität

Um die optimale Auflösung der Trainingsdaten zu finden, muss man zuerst den Begriff Fluch der Dimensionalität verstehen. Damit wird beschrieben, wie sich die Anzahl der benötigten Beobachtungen N, um im p-dimnensionalen Raum sinnvolle Aussagen zu treffen beim Erhöhen beziehungsweise Verringern der Dimensionen verändert.

Man nehme beispielhaft eine zufällige Beobachtung einer natürlichen Zahl zwischen 0 und 9 an, so beträgt die Wahrscheinlichkeit, dass diese Zahl eine 7 ist statistisch gesehen $\frac{1}{10}$. Erweitert man dies um eine Dimension, so besteht eine zufällige Beobachtung nun aus zwei natürlichen Zahlen zwischen 0 und 9. Dadurch verringert sich die Wahrscheinlichkeit, dass diese Beobachtung auf den ausgewählten Punkt (7,0) fällt auf $\frac{1}{100}$. Um mit gleicher Wahrscheinlichkeit wie in einer Dimension auf dem Punkt (7,0) zu landen, müssen nun 10 verschiedene Beobachtungen gemacht werden, wodurch die gleiche Stichprobendichte erreicht wird.

Dieses Problem findet sich auch im maschinellen Lernen wieder und lässt sich mit der folgenden Formel [8, Seite 23] beschreiben:

$$N \propto \varrho^p,$$
 (14)

wobei N die Anzahl Trainingsdaten, p die Anzahl Dimensionen des neuronalen Netzes und ϱ die Dichte der Trainingsdaten beschreibt.

Man nehme beispielsweise an, dass ein zweidimensionales neuronalen Netz (ein Input und ein Bias) $N_2 = 100$ Trainingsdaten für ein gewisses Ergebnis benötigt. Dann werden laut Gleichung (14) mit einem 20-dimensionalem neuronalen Netz (19 Inputs und ein Bias) für dasselbe Ergebnis $N_{20} = N_2^{\frac{p_{20}}{p_2}} = 100^{10}$ Trainingsdaten benötigt.

Deshalb sollte man grundsätzlich versuchen die Dimensionen des zu trainierenden neuronalen Netzes möglichst gering zu halten, damit eine genug hohe Dichte der Trainingsdaten besteht. Jedoch darf man nicht vergessen, dass eine gewisse Dimensionalität benötigt wird, um die Komplexität des Problems der Bildklassifizierung zu bewältigen.

4.2 Grösse und Auflösung der Trainingsdaten

Weil das neuronale Netz für jeden Pixel eines Bildes ein einzelnes Eingabeneuron besitzt, verändert sich die Dimensionalität der Fehlerfunktion je nach Auflösung der Bilder. Da die Zeichnungen nicht nur beim Training, sondern auch bei der Evaluation der KI erst vor der Eingabe ins neuronale Netz skaliert werden, können stets 256×256 grosse Bilder von der KI klassifiziert werden, unabhängig von der für das Training ausgewählten Auflösung.

Skaliert man die Trainingsdaten gar nicht, so hat man zum Beispiel bei der Klassifizierung von 10 verschiedenen Gegenständen mindestens $256^2 * 10 = 655'360$ Gewichte, die trainiert werden müssen. Skaliert man diese Bilder auf eine Auflösung von 16×16 , so verringert sich die Dimensionalität auf mindestens $16^2 * 10 = 2'560$, wodurch sich die Dichte des Datensatzes aufgrund des Fluchs der Dimensionalität erhöht und die Trainingszeit sich verringert.

Doch die empirische Erfahrung hat gezeigt, dass bei einer Skalierung auf 16×16 Pixel zu viele Informationen verloren gehen, wodurch die KI bei der Klassifizierung von Testdaten keine zufriedenstellenden Ergebnisse liefern konnte. Deshalb habe ich weitere Versuche mit den Auflösungen 64×64 und 32×32 Pixel durchgeführt, wobei die letztere bei den Testdaten die besten Ergebnisse versprach.

Die Auflösung der Bilder eines Datensatzes lässt sich im Compiler (Anhang B) mit der Tupel img_dim festlegen und kann je nach Bedarf auch in eine Richtung gestreckt werden.

4.3 Die Struktur des neuronalen Netzes

Die Anzahl der verdeckten Schichten und der sich darin befindenden Neuronen hat auch einen massgeblichen Einfluss auf die Trainingszeit eines neuronalen Netzes und auf die Genauigkeit der KI. Nicht nur im Rahmen meiner Arbeit, sondern auch in der gängigen Praxis werden diese Zahlen oft durch Versuch und Irrtum gefunden, denn während zu viele verdeckte Schichten und Neuronen die Trainingszeit ins Unermessliche steigen lassen, führen zu wenige zu unzureichender Genauigkeit bei Testdaten [17].

Da ein flexibler Umgang mit diesen Zahlen benötigt wird, um empirische Erfahrungen zu sammeln, habe ich in dem Trainingsprogramm zwei zusätzliche Variablen eingeführt. Die Variable $hidden_layers_num \in \mathbb{N}_0$ gibt an, wie viele verdeckte Schichten vorhanden sind und die Variable $layers_connection_factor > 0$ gibt an, um welchen Faktor die Anzahl Neuronen von Schicht zu Schicht abnimmt. Bei Bedarf kann die Anzahl Neuronen auch zunehmen, was teilweise auch überraschende Ergebnisse liefern kann. Zudem ist die Ausgabeschicht nicht davon betroffen, denn dort befindet sich stets ein Neuron pro Gegenstand.

Im Rahmen meiner Arbeit konnte ich bei 33 verschiedenen Gegenständen mit 2 verdeckten Schichten und einem Verbindungsfaktor von 0.5 bei noch nie zuvor gesehenen Validierungsdaten eine Genauigkeit von 84% erreichen. Mit derselben Struktur und 10 verschiedenen Gegenständen konnte die KI eine Genauigkeit von 91% erreichen. Bei nur 4 Gegenständen genügte eine verdeckte Schicht mit Verbindungsfaktor 0.5 um eine Genauigkeit von 98% zu erreichen. Eine genauere

Besprechung der Ergebnisse folgt im Kapitel 5.

4.4 Die Lernrate und der Impuls

Beim Gradientenabstiegsverfahren sind die Lernrate λ und der Impuls μ die zwei wichtigsten Hyperparameter und haben somit auch einen grossen Einfluss auf den Erfolg des Trainings einer KI. Obwohl die Suche nach diesen Parametern im modernen Gebrauch schon oft automatisiert wird [7], ist im Rahmen meiner Arbeit auch hier wieder die heuristische Methode der beste Ansatz.

Wie schon im Unterkapitel 3.3.3 genauer erläutert, habe ich mich nach einigem Ausprobieren und Recherchieren meistens für einen Impuls von $\mu = 0.9$ entschieden.

Im Vergleich dazu ist die Lernrate ein viel sensiblerer Hyperparameter, der meiner Erfahrung nach stark von der Batch Grösse und von der Struktur des neuronalen Netzes abhängt. Während eine zu gross gewählte Lernrate dazu führen kann, dass gute Minima der Fehlerfunktion übersprungen werden und man nicht an ein sinnvolles Ziel gelangt, treibt eine zu kleine Lernrate die Trainingszeit immer weiter in die Höhe und erhöht das Risiko, in einem schlechten lokalen Minima zu enden. Deshalb konnte ich mich auch nach vielen Versuchen mit Lernraten von 0.001 bis 0.5 nicht auf ein λ festlegen, das stets gute Resultate versprechen konnte.

Mir ist jedoch aufgefallen, dass mit steigender Anzahl Epochen (unter der Annahme, dass der Wert der Fehlerfunktion sinkt) der Wechsel auf eine kleinere Lernrate einen positiven Effekt auf den Fehlerwert und somit auch einen deutlichen Sprung der Genauigkeit zur Folge haben kann. Eine solche Entwicklung ist in Abbildung 7 ersichtlich.

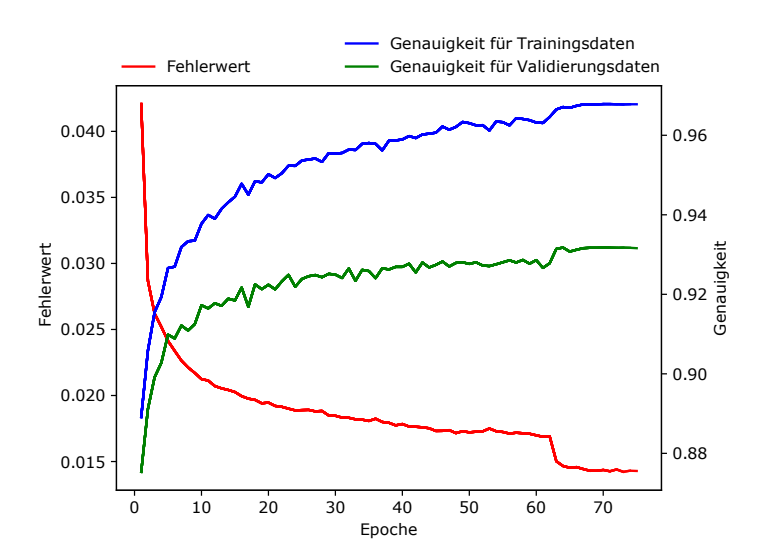


Abbildung 7: Entwicklung eines neuronalen Netzes mit einem manuellen Wechsel der Lernrate während des Trainings (Diagramm entspricht dem Resultat mit ID 16 in Abbildung 9)

Deshalb habe ich die Möglichkeit einer dynamischen Lernrate eingeführt, die mit drei Variablen gesteuert werden kann, wobei die torch.optim.lr_scheduler.StepLR() Funktion aus PyTorch benutzt wurde [3]. Die boolesche Variable $lr_scheduler$ gibt an, ob die Lernrate mit der Zeit abnehmen soll und sofern dies der Fall ist, gibt die Variable $lr_stepsize$ an, nach wie vielen Epochen die Lernrate um den Faktor gamma reduziert werden soll. Die genaue Implementation in meinem Programm ist im Anhang C ersichtlich.

4.5 Dropout Schichten

Eine weitere Gefahr, die während des Trainings eines neuronalen Netzes auftreten kann, ist das Problem des Overfittings. Es beschreibt die Entwicklung einer stets steigenden Genauigkeiten für die Trainingsdaten und anfangs auch für die Validierungsdaten, doch letztere nimmt ab einem gewissen Punkt wieder abnimmt, da sich das neuronale Netz zu stark auf den vorgegebenen Datensatz spezialisiert. Dieses Problem macht sich zwar vor allem bei eher kleinen Datensätzen bemerkbar [11] (was man vom Quick, Draw! Datensatz nicht behaupten kann), doch trotzdem gab es einzelne Fälle des Overfittings während meiner praktischen Arbeit, wie Abbildung 8 zeigt, weshalb ich mich dazu entschied auch dafür eine Lösung einzubauen.

Das Einfügen von sogenannten Dropout Schichten, die zufällige Elemente des Input Arrays vor der Eingabe in die folgende lineare Schicht auf Null setzen, beheben ziemlich effektiv das Problem des Overfittings [11]. In PyTorch lassen sich solche Schichten mit der Klasse torch.nn.Dropout() einfügen [3] und werden im meinem Programm mit der booleschen Variable dropout aktiviert. Sofern der Dropout aktiviert ist, gibt die Variable dropout_rate die Wahrscheinlichkeit eines Elementes an, auf Null gesetzt zu werden. Die genaue Implementation ist wiederum im Anhang C ersichtlich.

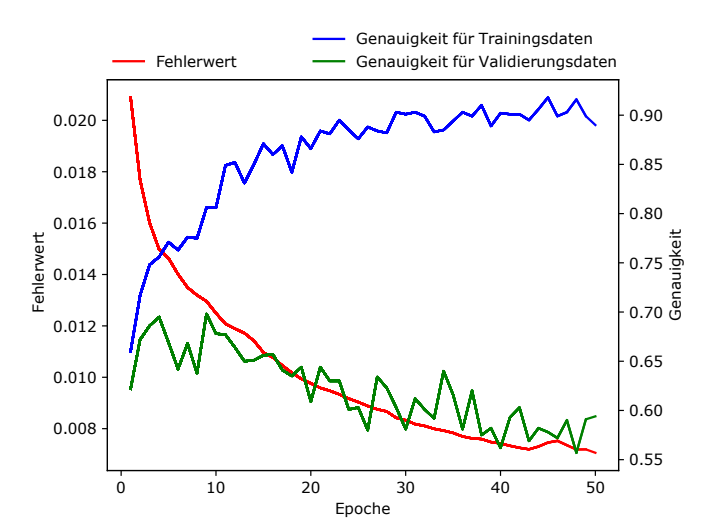


Abbildung 8: Overfitting bei einem neuronalen Netz (Diagramm entspricht dem Resultat mit ID 3 in Abbildung 9)

5 Ergebnisse

Abbildung 9 zeigt eine Tabelle mit den interessantesten Ergebnissen meiner praktischen Arbeit. Wie schon im Kapitel 4 erläutert, muss beim Trainieren einer KI viel ausprobiert werden, bis man erste brauchbare Ergebnisse erhält. Deshalb wurden Resultate ohne grosse Aussagekraft aus Abbildung 9 entfernt. Es ist jedoch zu beachten, dass damit nicht alle negativen Resultate gemeint sind, da solche oft auch eine gewisse Aussagekraft beinhalten und somit teilweise auch in der Tabelle vertreten sind.

Jedes trainierte neuronale Netz ist mit einer einzigartigen ID versehen. Die Ergebnisse sind nach Anzahl Gegenstände (2. Spalte) und nach Genauigkeit bei den Validierungsdaten sortiert. Die Spalten zu den Genauigkeiten bei Trainings- und Validierungsdaten sind mit GktT und GktV abgekürzt. Man erkennt deutlich, wie die Genauigkeit der KI mit steigender Anzahl der zu klassifizierenden Gegenstände sinkt. Zudem erhöht sich die Genauigkeit tendenziell mit einer längerem Trainingsdauer.

Die Auflösung beschreibt bloss, wie die Bilder vor der Eingabe ins neuronale Netz skaliert wurden. Dies hat keinen Einfluss beim Evaluieren von komplett neuen Daten, die stets eine Auflösung von 256×256 Pixel haben sollten.

Die Trainingsdaten bilden 80% des Datensatzes. Folglich tragen Test- und Validierungsdaten jeweils 10% zu den Anzahl Daten bei.

Während einer Epoche wird das Gradientenabstiegsverfahren für jeden Batch genau ein Mal durchgeführt. Die Trainingsdaten werden deshalb in einzelne Pakete aufgeteilt, wobei die Batch Grösse auch in der Tabelle angegeben ist.

Die Struktur zeigt an, wie viele verdeckte Schichten das verwendete neuronale Netz besitzt und wie viele Neuronen sich jeweils darin befinden. Sie folgt dem Format [Inputneuronen, Neuronen verdeckte Schicht 1, Neuronen verdeckte Schicht 2, ..., Neuronen verdeckte Schicht x, Outputneuronen]. Folglich lässt sich daraus, sofern mindestens eine verdeckte Schicht vorhanden ist, auch der layers connection factor berechnen.

Sind bei der Lernrate zwei verschiedene Werte angegeben, so wurde diese während des Trainings manuell gewechselt. In der Spalte Lr Decay werden, sofern der lr_scheduler aktiviert ist, die genauen Werte zu den Variablen $lr_stepsize$ und gamma angegeben.

| Dropout | False | False | False | 9.0 | 9.4 | False | 0.5 | False | 0.3 | False | 0.5 | False | 0.4 | 0.3 | 0.4 | 0.4 | 0.4 | 0.4 | 0.4 | 0.4 | 0.3 | False | 0.5 | 0.4 | False | False | False | 0.4 | 0.4 | 0.4 | False | 0.4 | False | 0.2 |
|-----------------------------------------------|------------------------------|-----------------------------------------------------------|------------------------|-------------------------------------------|-----------------------------------------|-------------------------------|-------------------------------|-----------------------------------------|--------------------------------|-------------------------------------|-------------------------------|-------------------------------|-----------------------------------------------|-------------------------------|------------------------------|------------------------------------------|----------------------------------------------|------------------------------------------|------------------------------|------------------------------------------|-------------------------------|-------------------------------------|------------------------------------|------------------------------|------------------------------|------------------------------------------|-------------------------------------|--------------------------------|--------------------------------|--------------------------------|--------------------------------|----------------------------------|----------------------------------|------------------------------------------|
| [mpuls] | 6.0 | 6.0 | 6.0 | 6.0 | 6.0 | 6.0 | 6.0 | 6.0 | 6.0 | 6.0 | 6.0 | 6.0 | 6.0 | 6.0 | 6.0 | 6.0 | 6.0 | 6.0 | 6.0 | 6.0 | 6.0 | 6.0 | 6.0 | 6.0 | 6.0 | 6.0 | 6.0 | 0.95 | 6.0 | 0.95 | 6.0 | 6.0 | 6.0 | 6.0 |
| Lr Decay (stepsize/ gamma) | False | False | False | 10/0.9 | 1/0.9 | False | 1/0.95 | False | 1/0.9 | False | 3/0.9 | False | False | 5/0.5 | False | 5/0.5 | 3/0.9 | 5/0.5 | False | 5/0.5 | False | False | 3/0.9 | 2/0.9 | False | False | False | False | 1/0.9 | False | False | 1/0.9 | False | 1/0.7 |
| Lermate | 0.001 | 0.5 | 0.01 | 6.0 | 0.5 | 0.01 | 0.5 | 0.01 | 0.0 | 0.5 | 0.5 | 0.5 | 0.1 | 0.1 | 0.05 | 0.5 | 0.1 | 0.1 | 0.1/0.01 | 0.1 | 0.1 | 0.1 | 0.01 | 0.01 | 0.1 | 0.05 | 0.1 | 0.1 | 0.5 | 0.05 | 0.01 | 0.1 | 0.1 | 0.05 |
| Batch Grösse | 1 | 200 | - | 1000 | 200 | 100 | 100 | - | 1000 | 200 | 300 | 100 | 10 | 5 | 10 | 100 | 10 | 10 | 10 | 10 | 100 | - | - | _ | - | 100 | - | 10 | 20 | 10 | - | 10 | 100 | 1 |
| Struktur | [1024, 512, 4] | [1024, 1228, 1474, 1769, 2123, 2548, 3057, 3669, 4403, 4] | [1024, 512, 4] | [1024, 1024, 1024, 1024, 1024, 1024, 4] | [1024, 1024, 1024, 1024, 1024, 1024, 4] | [1024, 307, 92, 27, 10] | [1024, 512, 256, 128, 64, 10] | [1024, 512, 256, 10] | [1024, 819, 655, 524, 419, 10] | [1024, 2048, 4096, 8192, 16384, 10] | [1024, 512, 256, 128, 10] | [1024, 2560, 6400, 16000, 10] | [1024, 512, 256, 128, 10] | [1024, 512, 256, 128, 64, 10] | [1024, 512, 256, 128, 10] | [1024, 1024, 1024, 1024, 1024, 1024, 10] | [1024, 512, 256, 128, 64, 10] | [1024, 1024, 1024, 1024, 1024, 1024, 10] | [1024, 512, 256, 128, 10] | [1024, 1024, 1024, 1024, 1024, 1024, 10] | [1024, 512, 256, 12] | [1024, 512, 19] | [1024, 1024, 1024, 1024, 1024, 20] | [1024, 1228, 1474, 1769, 20] | [1024, 512, 33] | [1024, 1024, 1024, 1024, 33] | [1024, 512, 256, 33] | [1024, 716, 501, 351, 33] | [1024, 716, 501, 351, 33] | [1024, 716, 501, 351, 33] | [1024, 512, 256, 33] | [1024, 1228, 1474, 1769, 33] | [1024, 1024, 1024, 1024, 33] | [1024, 1024, 1024, 1024, 1024, 1024, 33] |
| | | [102 | | | | | | | | | | | | | | | | | | | | | | | | | | | | | | | | |
| Laufzeit | | 1h 10min [102 | 2h 24min | 1h 5min | 1h 2min | 1h 48min | 1h 47min | 5h 29min | 2h 24min | 1h 9min | 3h 34min | 37min | 2h 3min | 3h 33min | 1h 7min | 1h 26min | 4h 6min | 3h 37min | 2h 24min | 6h 11min | 2h 54min | 53min | 43h 47min | 9h 55min | 3h 57min | 1h 18min | 2h 17min | 2h 21 min | 10h 6min | 5h 35min | 13h 16min | 14h 43min | 11h 44min | 31h 14min |
| Epochen Laufzeit | | | | | | | | | 77 2h 24min | | 115 3h 34min | 12 37min | | | | | | | | 62 6h 11min | | | • | | | 7 1h 18min | 53 2h 17min | 14 2h 21min | 58 10h 6min | | _ | 43 14h 43min | _ | 10 31h 14min |
| | 5 27min | 31 1h 10min | 6 | 55 | 50 | 119 | | 105 | 77 | 23 | 115 | 12 | 62 | 57 | 35 | 33 | 102 | 87 | 29 | 62 | 177 | 24 | 27 | 15 | 50 | 7 | 53 | | 58 | | _ | _ | 72 1 | |
| Epochen | 5 27min | 100'000 31 1h 10min | 100'000 | 100'000 55 | 100'000 50 | 100'000 | 82 | 100'000 105 | 200'000 77 | 23 | 115 | 100'000 12 | 200'000 62 | 200'000 57 | 200'000 35 | 33 | 200'000 102 | 200'000 87 | 200'000 67 | 200'000 62 | 100'000 | 10'000 24 | 500'000 27 | 500'000 15 | 100'000 50 | 1,000'000 7 | 100'000 53 | 1,000,000 14 | 1'000'000 58 | 1'000'000 34 | 1'000'000 21 1 | 43 1 | 1'000'000 72 1 | 1,000,000 |
| Anzahl Daten Epochen | 100'000 5 27min | 32 x 32 100'000 31 1h 10min | 32 x 32 100'000 9 | 32×32 100'000 55 | 32×32 100'000 50 | 32 x 32 100'000 119 | 100'000 82 | 32×32 100'000 105 | 32 x 32 200'000 77 | 32×32 100'000 23 | 32 x 32 200'000 115 | 32×32 100'000 12 | 32×32 200'000 62 | 32 x 32 200'000 57 | 32×32 200'000 35 | 32×32 200'000 33 | 32×32 $200'000$ 102 | 32×32 $200'000$ 87 | $32 \times 32 200'000 67$ | $32 \times 32 \qquad 200'000 \qquad 62$ | 32×32 100'000 177 | 32×32 10'000 24 | 32×32 500'000 27 | 32×32 500'000 15 | 32×32 100'000 50 | $32 \times 32 1'000'000 7$ | $32 \times 32 $ 100'000 53 | 1,000,000 14 | $32 \times 32 1'000'000 58$ | 32×32 1'000'000 34 | 1'000'000 21 1 | $32 \times 32 1'000'000 43 1$ | 1'000'000 72 1 | $32 \times 32 1'000'000 10$ |
| Anzahl Auflösung Daten Epochen | 32 x 32 100'000 5 27min | 97.4 32 x 32 100'000 31 1h 10min | 97.5 32 x 32 100'000 9 | 98 32 x 32 100'000 55 | $98.1 32 \times 32 100'000 50$ | 90.5 32 x 32 100'000 119 | 91.1 32 x 32 100'000 82 | 91.6 32 x 32 100'000 105 | 91.8 32 x 32 200'000 77 | 91.9 32 x 32 100'000 23 | 92.5 32 x 32 200'000 115 | 92.5 32 x 32 100'000 12 | 92.8 32 x 32 200'000 62 | 92.8 32 x 32 200'000 57 | 92.8 32 x 32 200'000 35 | 92.9 32 x 32 200'000 33 | 93 32 x 32 200'000 102 | 93.2 32 x 32 200'000 87 | 93.2 32 x 32 200'000 67 | 93.3 32 x 32 200'000 62 | 90.4 32 x 32 100'000 177 | $85.7 	 32 \times 32 	 10'000 	 24$ | 86.4 32 x 32 500'000 27 | 87.2 32 x 32 500'000 15 | 57.5 32 x 32 100'000 50 | 65.9 32 x 32 1'000'000 7 | $75 	 32 \times 32 	 100'000 	 53$ | 80.9 32 x 32 1'000'000 14 | 82.2 32 x 32 1'000'000 58 | 82.6 32 x 32 1'000'000 34 | 84 32 x 32 1'000'000 21 1 | $32 \times 32 1'000'000 43 1$ | 85.5 32 x 32 1'000'000 72 1 | 85.7 32 x 32 1'000'000 10 |
| GktV Anzahl in [%] Auflösung Daten Epochen | 96.4 32 x 32 100'000 5 27min | 97.4 32 x 32 100'000 31 1h 10min | 97.5 32 x 32 100'000 9 | $98.6 	 98 	 32 \times 32 	 100'000 	 55$ | $98.1 32 \times 32 100'000 50$ | 94.8 90.5 32 x 32 100'000 119 | 91.1 32 x 32 100'000 82 | $100 91.6 32 \times 32 100'000 105$ | 94.3 91.8 32 x 32 200'000 77 | 99.4 91.9 32 x 32 100'000 23 | 95.2 92.5 32 x 32 200'000 115 | 98.7 92.5 32 x 32 100'000 12 | 96.4 92.8 $32 \times 32 \times 32$ 200'000 62 | 95.6 92.8 32 x 32 200'000 57 | 95.8 92.8 32 x 32 200'000 35 | 95.7 92.9 32 x 32 200'000 33 | 96.2 93 $32 \times 32 \times 32$ 200'000 102 | 96 93.2 32 x 32 200'000 87 | 96.8 93.2 32 x 32 200'000 67 | 96.1 93.3 32 x 32 200'000 62 | 98.6 90.4 32 x 32 100'000 177 | 100 85.7 32×32 10'000 24 | 88.3 86.4 32 x 32 500'000 27 | 89.8 87.2 32 x 32 500'000 15 | 89.7 57.5 32 x 32 100'000 50 | $66.1 65.9 32 \times 32 1'000'000 7$ | 96.6 75 32×32 100'000 53 | 82.1 80.9 32 x 32 1'000'000 14 | 83.6 82.2 32 x 32 1'000'000 58 | 84.2 82.6 32 x 32 1'000'000 34 | 90.6 84 32 x 32 1'000'000 21 1 | 86.3 84.5 32 x 32 1'000'000 43 1 | 94.6 85.5 32 x 32 1'000'000 72 1 | 85.7 32 x 32 1'000'000 10 |

Abbildung 9: Tabelle der Ergebnisse

5.1 Konfusionsmatrix

Eine Konfusionsmatrix bietet die Möglichkeit genau zu bestimmen, mit welcher Wahrscheinlichkeit einzelne Gegenstände von der KI richtig klassifiziert werden. Zudem lässt sich auch leicht herauslesen mit welcher Wahrscheinlichkeit ein Gegenstand A mit einem Gegenstand B verwechselt wird. Folglich lassen sich dank der Kunfusionsmatrix die Stärken und Schwächen einer trainierten KI genaustens bestimmen.

Die Zeilen einer Konfusionsmatrix geben den wahren Gegenstand an, während die Spalten für die Klassifizierung der KI stehen. Ein perfektes neuronales Netz hätte in der Konfusionsmatrix bis auf eine mit Einsen gefüllte Diagonale nur Nullen.

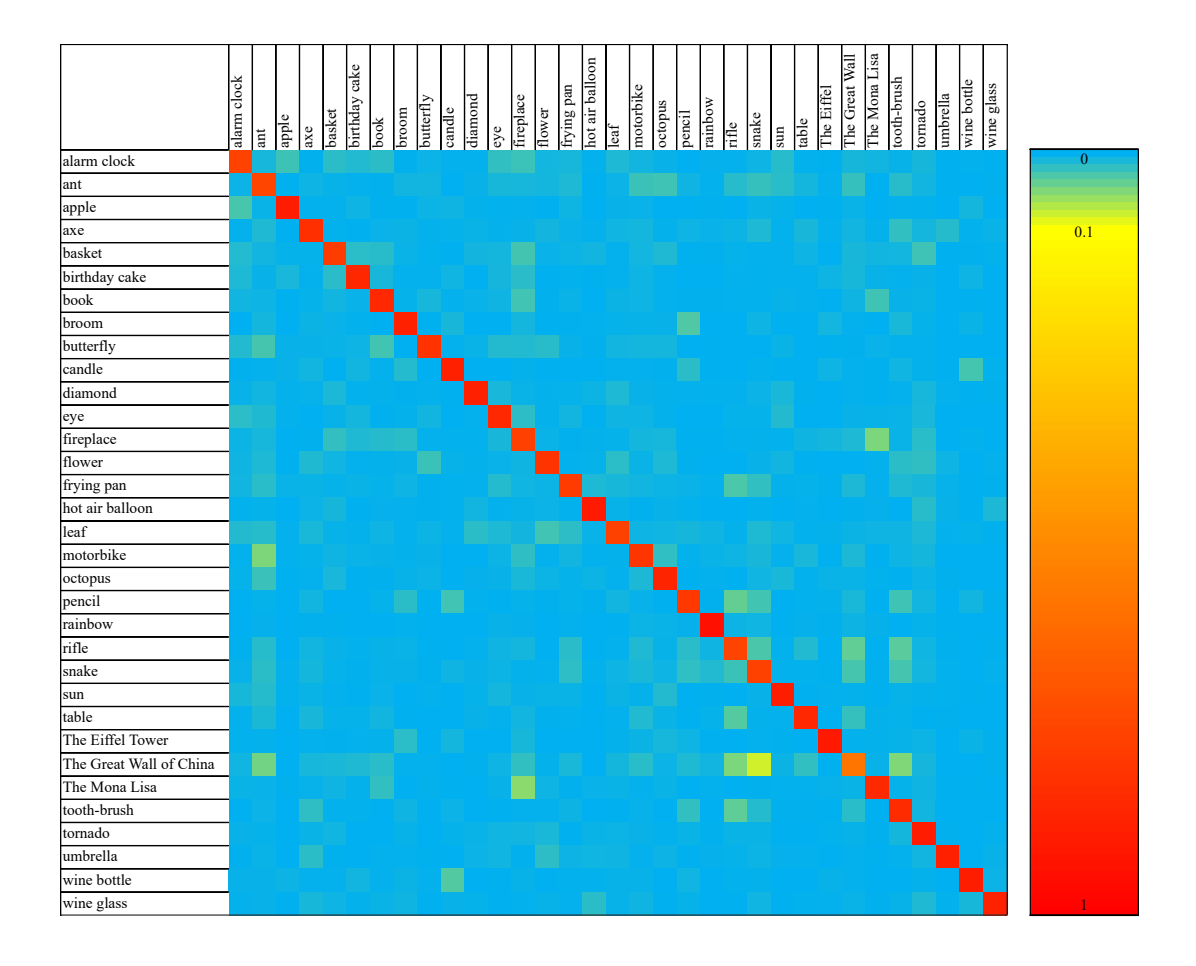


Abbildung 10: Visualisierung einer Konfusionsmatrix für 33 verschiedene Gegenstände aus dem Validierungsdatensatz (Berechnungen entsprechen dem neuronalen Netz mit ID 6 in Abbildung 9)

Eine grosse Konfusionsmatrix kann zwar schnell unübersichtlich werden, doch die Darstellung als Heatmap bietet eine gute Lösung. Abbildung 10 zeigt die Konfusionsmatrix eines neurona-

len Netzes, das zur Klassifikation von 33 verschiedenen Gegenständen trainiert und auf dem Validierungsdatensatz ausgewertet wurde.

Es ist anzumerken, dass der Farbverlauf nicht linear ist. Er startet mit der Farbe Blau beim Wert 0 und verläuft dann über Gelb beim Wert 0.1 zu Rot beim Wert 1. Folglich erscheinen Werte zwischen 0 und 0.1 grünlich, während Werte zwischen 0.1 und 1 eher orangefarben abgebildet sind.

Aus Abbildung 10 lassen sich nun sehr viele interessante Erkenntnisse gewinnen. Man vergleiche zum Beispiel die Zeile zum Eiffelturm (The Eiffel Tower) A mit der Zeile zur Chinesischen Mauer (The Great Wall of China) B. Es fällt sofort auf, dass die Zeile A bis auf das diagonale Feld fast durchgehend blau ist, während die Zeile B von einigen hellgrünen und sogar von einem gelben Feld unterbrochen wird. Zudem ist in Zeile B das Feld der Diagonalen besonders orangefarben.

Folgt man dem gelben Feld aus Zeile B, so wird ersichtlich, dass eine Chinesische Mauer von der KI auffällig oft fälschlicherweise als Schlange (snake) klassifiziert wurde. Doch spätestens wenn man Bilder aus dem Datensatz dieser beiden Kategorien miteinander vergleicht (Abbildung 11), wird ersichtlich, weshalb es der KI so schwer fällt, die Chinesische Mauer korrekt zu klassifizieren.

Die genauen Zahlen hinter der Konfusionsmatrix aus Abbildung 10 finden sich im Angang A.

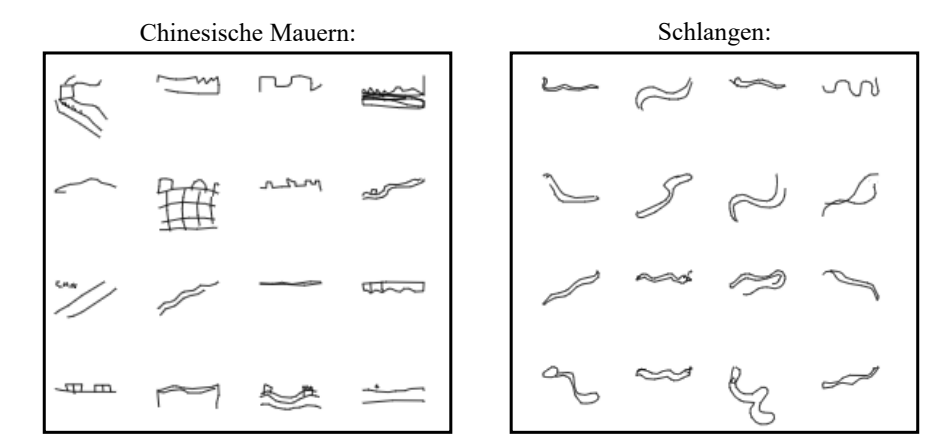


Abbildung 11: Validierungsdaten von Chinesischen Mauern und Schlangen im Vergleich

5.2 Leistung in der realen Welt

Da der verwendete Datensatz aus Skizzen von verschiedensten Menschen aus aller Welt besteht (wobei jeder dazu beitragen kann) [13] und nicht nur von einer ausgewählten Gruppe erstellt wurde, gibt es grundsätzlich wenige Begrenzungen der KI in der realen Welt.

Man nehme an, dass Daten aus der realen Welt stets auf einer 256×256 Pixel grossen Leinwand mit einem Pinsel, der einen Durchmesser von einem Pixel besitzt gezeichnet werden. So besteht der einzige Unterschied zwischen Validierungsdaten und Daten aus der realen Welt in der Grösse

der Zeichnungen. Denn Google hat die Bilder im Datensatz einheitlich so weit vergrössert, bis entweder horizontal oder vertikal ein Maximum erreicht wurde, wobei die Auflösung von 256×256 Pixel stets beibehalten wurde. Dies ist unter anderem auch in Abbildung 4 ersichtlich.

Solange man während dem erstellen von realen Daten auf die eben beschriebenen Annahmen achtet und möglichst gross skizziert, sollten sich die Ergebnisse der KI bei diesen Daten kaum von den Ergebnissen bei Validierungsdaten unterscheiden. Zum erstellen von neuen, realen Daten empfehle ich das kostenlose Programm paint.net.

Um selbst erstellte Bilder mit einem trainierten neuronalen Netz auszuwerten, wird das Programm zum Quellcode im Anhang E verwendet. Die ID des dabei verwendeten neuronalen Netzes wird mit der Variable nn_model_number angegeben. Ist die booleschen Variable $eval_my_data$ auf True gesetzt, so wird das Bild myDrawing.png abgerufen und evaluiert. Ansonsten werden beim Ausführen des Programms zufällige Bilder aus dem Validierungsdatensatz ausgewertet.

6 Fazit

Das Hauptziel meiner praktischen Arbeit war das Erstellen eines Programms zur Klassifizierung von handgezeichneten Gegenständen mit Hilfe von künstlichen neuronalen Netzen. Da sich dieses Ziel in verschiedene Aufgaben aufteilen lässt, ergaben sich schlussendlich vier unterschiedliche Programme. Das erste übernimmt die Aufgabe des Zusammenstellens eines Datensatzes, das zweite trainiert dann ein neuronales Netz auf einen ausgewählten Datensatz und mit dem dritten und vierten Programm, lassen sich Daten mit bereits trainierten Netzen evaluieren. Da Google mit dem Quick, Draw! Datensatz eine enorme Datenmenge bereitstellt und meine Programme bezüglich der Quantität der Trainingsdaten und der Struktur des neuronalen Netzes sehr flexibel gestaltet wurden, sehe ich noch viel Potenzial in diesem Projekt, was sich im Rahmen einer Maturaarbeit leider nicht vollkommen ausschöpfen lässt. Und trotzdem bin ich mit den bereits erreichten Ergebnissen äusserst zufrieden. Die Spitzengenauigkeit von 98.1% wurde zwar bei nur vier verschiedenen Gegenständen erreicht, doch auch die weitaus schwierigere Aufgabe der Klassifizierung von 33 verschiedenen Gegenständen konnte noch mit einer Genauigkeit von über 85.7% bewältigt werden, wobei Stolpersteine wie die Chinesische Mauer miteinbezogen wurden. Ist man sich dabei noch bewusst, dass sich die Validierungsdaten kaum von komplett neuen Daten unterscheiden werden, finde ich die Ergebnisse umso bemerkenswerter. Als Vergleich erreichten Melanie Andersson u. a. mit künstlichen neuronalen Netzen bei sieben verschiedenen Gegenständen aus dem Quick, Draw! Datensatz eine Genauigkeit von 94.2% [4]. Zudem gelang es Kristine Guo u. a. bei der Klassifizierung von allen 345 Kategorien eine Genauigkeit von 62% zu erreichen [10]. Dabei wurden in beiden erwähnten Fällen unter anderem auch sogenannte Convolutional Layers eingebaut, während in meiner Arbeit nur klassische lineare Schichten verwendet wurden.

Das Ziel meiner schriftlichen Arbeit war es, sowohl einen Einblick in die praktische Arbeit zu liefern, als auch einen Teil der Mathematik des maschinellen Lernens zu erforschen. Da ein wesentlicher Teil meiner praktischen Arbeit darin bestand, den vorhandenen Datensatz neu zu strukturieren und dies meist grundsätzlich zum maschinellen Lernen dazu gehört, habe ich mich dazu entschieden, auch dies in meine schriftliche Arbeit einfliessen zu lassen. Dementsprechend wurde in Kapitel 2 zuerst der Umgang mit dem riesigen Datensatz von Google besprochen. Danach wurde im folgenden Kapitel 3 ein mathematisches Verständnis für künstliche neuronale Netze und deren Lernprozess aufgebaut, welches sich mit der Implementation in PyTorch deckt. Dies diente vor allem zum besseren Verständnis der Themen, die in den Kapiteln 4 und 5 folgten, wobei verschiedene, von mir genutzte, Optimierungsmöglichkeiten veranschaulicht und die damit erreichten Ergebnisse besprochen wurden.

7 Reflexion

Während des Erstellens der Programme und des Schreibens dieser Arbeit konnte ich extrem viel lernen. Als ich mit meiner Maturaarbeit anfing, war ich im Bezug auf das Programmieren noch ein Anfänger. Ich hatte zwar schon grobe Grundkenntnisse der Programmiersprache Python, doch dies war mein erstes grösseres Projekt, weshalb es doch auch einiges gibt, was ich heute anders machen würde. Meine vier Programme funktionieren nun zwar einwandfrei, doch besonders elegant sind die Quellcodes keinesfalls. Ich habe zum Beispiel gelernt, dass es vorteilhafter gewesen wäre, mit mehr verschiedenen Funktionen und mit mehr lokalen, anstatt der vielen globalen Variablen, zu arbeiten. Dahingegen bin ich mit meinem Zeitmanagement umso zufriedener, denn obwohl ich nur einen groben Zeitplan hatte, da das Endziel anfangs noch offen war, konnte ich mir stets ziemlich sicher sein, dass ich in keinen zeitlichen Verzug geraten werde.

Im Bezug auf meine schriftliche Arbeit, bin ich erfreut, dass ich mich trotz der Verwendung von PyTorch dazu entschieden haben, die Grundlagen der Mathematik von künstlichen neuronalen Netze zu studieren. Das tiefere Verständnis des Themas erlaubte es mir, bei der Optimierung des Trainings deutlich effektivere Methoden zu verwenden und bei der Analyse der Ergebnisse interessantere Erkenntnisse zu gewinnen. Zudem hatte ich die hervorragende Möglichkeit, das Arbeiten mit IATEX kennenzulernen. Ich bin überwältigt von den Funktionen, die es zu bieten hat und freue mich in Zukunft mehr damit zu arbeiten.

Zudem möchte ich mich bei meinem Betreuer Simon Knaus für seine professionelle Hilfe bedanken. Ich schätze nicht nur seine offene und unkomplizierte Art, sondern auch, dass er mich selbstständig und mit vollstem Vertrauen an meinem Projekt arbeiten liess.

Bestätigung der Eigentätigkeit

Ich bestätige mit meiner Unterschrift, dass ich meine Maturaarbeit selbständig verfasst und in schriftliche Form gebracht habe, dass sich die Mitwirkung anderer Personen auf Beratung und Korrekturlesen beschränkt hat und dass alle verwendeten Unterlagen und Gewährspersonen aufgeführt sind. Mir ist bekannt, dass eine Maturaarbeit, die nachweislich ein Plagiat gemäss Art. 1quarter des Maturitätsprüfungsreglements des Gymnasiums (s. auch Maturaarbeitsbroschüre) darstellt, als schwerer Verstoss gewertet wird.

| Datum und Unterschrift: |
|-------------------------|
|-------------------------|

Literatur

- [1] The Quick, Draw! Dataset. https://github.com/googlecreativelab/quickdraw-dataset. Abrufdatum: 7.11.2019.
- [2] Bresenham's Line Algorithm. http://www.roguebasin.com/index.php?title=Bresenham%27s_Line_Algorithm, June 2018. Abrufdatum: 10.11.2019.
- [3] PyTorch Master Documentation. https://pytorch.org/docs/stable/index.html, 2019. Abrufdatum: 28.12.2019.
- [4] M. Andersson, A. Maja, and S. Hedar, Sketch Classification With Neural Networks: A Comparative Study of CNN and RNN on the Quick, Draw! Data Set, 2018.
- [5] D. BECKER, Rectified Linear Units (ReLU) in Deep Learning. https://www.kaggle.com/dansbecker/rectified-linear-units-relu-in-deep-learning. In: Kaggle. Abrufdatum: 15.12.2019.
- [6] J. Bresenham, A Linear Algorithm for Incremental Digital Display of Circular Arcs, Communications of the ACM, 20 (1977), pp. 100–106.
- [7] T. DOMHAN, J. T. SPRINGENBERG, AND F. HUTTER, Speeding up Automatic Hyperparameter Optimization of Deep Neural Networks by Extrapolation of Learning Curves, in Twenty-Fourth International Joint Conference on Artificial Intelligence, 2015.
- [8] J. FRIEDMAN, T. HASTIE, AND R. TIBSHIRANI, *The Elements of Statistical Learning*, vol. 1, Springer series in statistics New York, 2001.
- [9] X. GLOROT, A. BORDES, AND Y. BENGIO, *Deep Sparse Rectifier Neural Networks*. http://proceedings.mlr.press/v15/glorot11a/glorot11a.pdf. In: Proceedings of the Fourteenth International Conference on Artificial Intelligence and Statistics (= Proceedings of Machine Learning Research), 2011. Abrufdatum: 10.11.2019.
- [10] K. Guo, J. Woma, and E. Xu, Quick, Draw! Doodle Recognition.
- [11] G. E. Hinton, N. Srivastava, A. Krizhevsky, I. Sutskever, and R. R. Salak-Hutdinov, *Improving Neural Networks by Preventing Co-Adaptation of Feature Detectors*, arXiv preprint arXiv:1207.0580, (2012).
- [12] T. HOEGER, C. DEW, F. PAULS, AND J. WILSON, NDJSON Newline Delimited JSON. https://github.com/ndjson/ndjson-spec, July 2013. Abrufdatum: 7.11.2019.
- [13] J. JONGEJAN, H. ROWLEY, T. KAWASHIMA, J. KIM, AND N. FOX-GIEG, Quick, Draw! https://quickdraw.withgoogle.com/. Abrufdatum: 7.11.2019.
- [14] E. Kussul and T. Baidyk, Improved Method of Handwritten Digit Recognition Tested on MNIST Database, Image and Vision Computing, 22 (2004), pp. 971–981.

- [15] L. Lu, Y. Shin, Y. Su, and G. E. Karniadakis, *Dying ReLU and Initialization: Theory and Numerical Examples*, arXiv preprint arXiv:1903.06733, (2019).
- [16] J. McCarthy, The Dartmouth Artificial Intelligence Conference. http://www.dartmouth.edu/~ai50/program.html. Abrufdatum: 7.11.2019.
- [17] J. D. PAOLA AND R. A. SCHOWENGERDT, The Effect of Neural-Network Structure on a Multispectral Land-Use/Land-Cover Classification, Photogrammetric Engineering and Remote Sensing, 63 (1997), pp. 535–544.
- [18] N. Qian, On the Momentum Term in Gradient Descent Learning Algorithms, Neural networks, 12 (1999), pp. 145–151.
- [19] I. SUTSKEVER, J. MARTENS, G. DAHL, AND G. HINTON, On the Importance of Initialization and Momentum in Deep Learning, in International conference on machine learning, 2013, pp. 1139–1147.

Abbildungsverzeichnis

8

| | 1 | Ausschnitt aus dem Quick, Draw! Datensatz | 3 |
|----|------------------|------------------------------------------------------------------------|---------------|
| | 2 | Exemplar eines Bildes vor Anwendung des Bresenham-Algorithmus | 7 |
| | 3 | Rasterung einer Linie | 7 |
| | 4 | Exemplar eines Bildes nach Anwendung des Bresenham-Algorithmus | 8 |
| | 5 | Vereinfachter Aufbau eines neuronalen Netzes | 10 |
| | 6 | Das Gradientenabstiegsverfahren bei einer vereinfachten Funktion | 12 |
| | 7 | Entwicklung eines neuronalen Netzes mit manuellem Wechsel der Lernrate | 18 |
| | 8 | Overfitting bei einem neuronalen Netz | 19 |
| | 9 | Tabelle der Ergebnisse | 21 |
| | 10 | Visualisierung einer Konfusionsmatrix | 22 |
| | 11 | Validierungsdaten von Chinesischen Mauern und Schlangen im Vergleich | 23 |
| Ve | erze | eichnis der Codes | |
| | | ciennis dei Codes | |
| | 1 | Beispiel einer Dateneinheit des QD-Datensatzes | 4 |
| | 1 2 | | 4 |
| | _ | Beispiel einer Dateneinheit des QD-Datensatzes | |
| | 2 | Beispiel einer Dateneinheit des QD-Datensatzes | F |
| | 2 | Beispiel einer Dateneinheit des QD-Datensatzes | 5 |
| | 2 3 4 | Beispiel einer Dateneinheit des QD-Datensatzes | 5 6 |
| | 2 3 4 5 | Beispiel einer Dateneinheit des QD-Datensatzes | ; (6 31 |

Quellcode des Programms zur Evaluierung von beliebigen Daten

A Konfusionsmatrix

| wine | 0.001 | 0.001 | 0.0 | 0.004 | 0.001 | 0.0 | 0.0 | 0.0 | 0.0 | 0.001 | 0.001 | 0.0 | 0.0 | 0.002 | 0.001 | 0.011 | 0.001 | 0.0 | 0.0 | 0.001 | 0.0 | 0.001 | 0.002 | 0.0 | 0.0 | 0.001 | 0.001 | 0.0 | 0.0 | 0.002 | 0.003 | 0.004 | 0.881 |
|-------------------------------|-------------|-------|-------|-------|--------|---------------|-------|-------|-----------|--------|---------|-------|-----------|--------|------------|-----------------|-------|-----------|---------|--------|---------|-------|-------|-------|-------|------------------|-------------------------|---------------|------------|---------|----------|-------------|------------|
| wine bottle | 0.001 | 0.0 | 800'0 | 0.001 | 0.001 | 0.005 | 0.001 | 0.004 | 0.0 | 0.027 | 0.001 | 0.0 | 0.001 | 0.0 | 0.001 | 0.001 | 0.003 | 0.0 | 0.0 | 0.007 | 0.0 | 0.0 | 0.0 | 0.001 | 0.0 | 0.004 | 0.0 | 0.001 | 0.0 | 0.0 | 0.0 | 0.901 | 0.009 |
| umbrella | 0.001 | 0.001 | 0.0 | 0.015 | 0.001 | 0.0 | 0.0 | 0.0 | 0.0 | 0.001 | 0.002 | 0.0 | 0.0 | 0.005 | 0.003 | 0.003 | 0.002 | 0.0 | 0.001 | 0.0 | 0.001 | 0.001 | 0.001 | 0.001 | 0.001 | 0.0 | 0.0 | 0.001 | 0.0 | 0.001 | 0.888 | 0.0 | 0.001 |
| ornado | | | | | | | | | | | | | | | | | | | | | | | | | | | | | | | 0.007 | | |
| brush | | | | | | | | | | | | | | | | | | | | | | | | | | | | | | | 0.002 | | |
| The Mona Lisa | | | | | | | | | | | | | | | | | | | | | | | | | | | | | | | | | |
| The Great Wall of China | 600 | .021 | .004 | 200. | .01 | 600 | 900 | .002 | .001 | .002 | .002 | .003 | .012 | 0. | .011 | 100 | .005 | .011 | .004 | .01 | .005 | .038 | .028 | .002 | .021 | .001 | .589 | .004 | 910 | .003 | .002 | .002 | .004 |
| The T Eiffel V | 0 100 | 000 0 | 0 100 | 000 0 | 0 0 | 0 900 | 0 0 | 0 800 | 0 100 | 0 900 | 0 0 | 0 0 | 0 800 | 0 0 | 001 0 | 0 0: | .002 | 0 100 | .004 | .002 | 001 0 | 0 | 0 100 | .002 | 0 0: | .912 | 00100 | 003 | 0 100 | 0 100 | 0.0 | 003 0 | 002 0 |
| T Table E | | _ | _ | _ | _ | _ | _ | _ | _ | _ | _ | _ | _ | _ | _ | _ | _ | _ | _ | _ | _ | _ | _ | _ | Ξ. | - | _ | _ | _ | - | 0.002 0 | _ | - |
| l ii | П | | | | | | | | | | | | | | | | | | | | | | | | | _ | _ | - | _ | _ | 0.002 | _ | - |
| snake | П | | | | | | | | | | | | | | | | | | | | | | | | | | | | | | 0.005 | | |
| riffe | 0.002 | 0.015 | 0.0 | 0.005 | 0.003 | 0.002 | 0.001 | 0.0 | 0.0 | 0.0 | 0.002 | 0.003 | 0.002 | 0.0 | 0.03 | 0.0 | 0.002 | 0.005 | 0.001 | 0.039 | 0.005 | 0.765 | 0.024 | 0.0 | 0.033 | 0.0 | 0.049 | 0.0 | 0.037 | 0.004 | 0.003 | 0.001 | 0.001 |
| rainbow | 0.002 | 0.001 | 0.001 | 0.004 | 0.001 | 0.0 | 0.001 | 0.0 | 0.001 | 0.001 | 0.001 | 0.0 | 0.001 | 0.0 | 0.002 | 0.0 | 900.0 | 0.004 | 0.002 | 0.001 | 0.946 | 9000 | 0.013 | 0.001 | 0.003 | 0.001 | 2000 | 0.002 | 0.0 | 0.001 | 0.002 | 0.0 | 0.0 |
| pencil | 0.0 | 900'0 | 0.0 | 0.002 | 0.001 | 0.0 | 0.001 | 0.031 | 0.0 | 0.017 | 0.002 | 0.0 | 0.001 | 0.001 | 0.004 | 0.001 | 0.000 | 0.001 | 0.001 | 0.803 | 0.002 | 0.017 | 0.019 | 0.0 | 0.001 | 0.005 | 0.012 | 0.0 | 0.019 | 0.004 | 0.001 | 900'0 | 0.003 |
| octopus | 0.003 | 0.025 | 0.0 | 0.002 | 0.012 | 0.002 | 0.002 | 0.003 | 0.008 | 0.001 | 0.002 | 0.002 | 0.009 | 0.012 | 0.005 | 0.003 | 0.007 | 0.019 | 0.873 | 0.001 | 0.004 | 0.003 | 900'0 | 0.014 | 0.004 | 0.009 | 0.004 | 0.004 | 0.0 | 0.001 | 0.005 | 0.0 | 0.001 |
| notorbike | 2000 | 0.023 | 0.004 | 8007 | 8007 | 0.005 | 0.005 | 0.003 | 800% | 0.002 | 0.003 | 900'0 | 8000 | 0.004 | 2000 | 1000 | 2007 | .813 | 0.011 | 0003 | 0002 | 0.012 | 10.0 | 0.002 | 0.013 | 0.005 | 910'0 | 0.002 | 0003 | 0003 | 0.002 | 0003 | 9000 |
| leaf 1 | 1 | - | _ | - | - | _ | _ | _ | - | - | _ | _ | - | - | _ | _ | - | - | _ | _ | - | _ | - | _ | _ | - | - | _ | - | - | 0.006 | _ | _ |
| hot air l | | | | | | | | | | | | | | | | | | | | | | | | | | | | | | | 0.006 | | |
| frying | 0000 | 0.012 | 900'0 | 0.004 | 0.005 | 0.001 | 0.004 | 0.001 | 0.003 | 0.0 | 0.003 | 700.0 | 0.001 | 0.001 | 0.792 | 0.001 | 8107 | 700.0 | 0.003 | 0.003 | 0.002 | 710.0 | 8107 | 0.004 | 000 | 0.0 | 10.0 | 1007 | 0.005 | 0.001 | 0.005 | 0.001 | 000 |
| flower | | | | | | | | | | | | | | | | | | | | | | | | | | | | | | | 0.018 (| | |
| fireplace | 0.023 | 600.0 | 0.002 | 0.003 | 0.026 | 0.017 | 0.026 | 800.0 | 0.013 | 0.002 | 0.004 | 0.018 | 0.776 | 900.0 | 900.0 | 0.003 | 800.0 | 0.019 | 0.01 | 0.003 | 0.002 | 800'0 | 0.002 | 0.003 | 2000 | 0.009 | 0.019 | 0.054 | 0.002 | 2000 | 0.001 | 0.003 | 0.001 |
| eye | 0.02 | 0.009 | 0.001 | 0.002 | 0.008 | 0.009 | 900.0 | 0.0 | 0.014 | 0.0 | 0.01 | 0.862 | 0.01 | 0.004 | 0.014 | 0.002 | 0.011 | 0.005 | 0.003 | 0.001 | 0.003 | 900'0 | 0.005 | 0.008 | 0.002 | 0.0 | 0.005 | 0.003 | 0.001 | 0.007 | 900'0 | 0.001 | 0.001 |
| diamond | 0.002 | 0.003 | 0.002 | 0.004 | 0.007 | 0.0 | 0.004 | 0.0 | 0.004 | 0.0 | 0.889 | 0.002 | 0.001 | 0.002 | 0.002 | 0.007 | 0.017 | 0.0 | 0.002 | 0.001 | 0.0 | 0.002 | 0.003 | 0.003 | 0.003 | 0.0 | 0.001 | 0.0 | 0.0 | 0.004 | 0.004 | 0.0 | 0.003 |
| candle | 0.002 | 0.0 | 900.0 | 0.003 | 0.001 | 0.007 | 0.002 | 0.01 | 0.002 | 68.0 | 0.001 | 0.0 | 0.001 | 0.003 | 0.001 | 0.001 | 0.002 | 0.0 | 0.0 | 0.026 | 0.0 | 0.0 | 900'0 | 0.0 | 0.0 | 8000 | 0.0 | 0.001 | 0.005 | 0.003 | 0.0 | 0.033 | 0.003 |
| butterfly | 0.004 | 0.007 | 0.005 | 0.002 | 0.001 | 0.002 | 0.009 | 0.001 | 0.825 | 0.0 | 0.002 | 0.007 | 0.002 | 0.024 | 0.001 | 0.001 | 0.005 | 0.003 | 0.004 | 0.001 | 0.0 | 0.001 | 0.001 | 0.002 | 0.0 | 0.0 | 0.002 | 0.002 | 0.0 | 0.0 | 0.001 | 0.002 | 0.001 |
| broom | 0.001 | 700.0 | 0.001 | 0.005 | 0.004 | 0.002 | 0.003 | 988.0 | 0.0 | 0.014 | 0.001 | 0.002 | 710.0 | 0.003 | 0.005 | 0.002 | 0.002 | 0.002 | 0.003 | 710.0 | 0.001 | 0.004 | 0.003 | 0.0 | 0.001 | 710.0 | 0.002 | 0.0 | 9000 | 0.003 | 0.002 | 0.005 | 900.0 |
| book | | | | | | | | | | | | | | | | | | | | | | | | | | | | | | | 0.002 | | |
| birthday cake | 0.013 | 0.002 | 9000 | 0.001 | 710.0 | 0.864 | 0.004 | 0.001 | 0.005 | 2000 | 0.001 | 800.0 | 0.012 | 0.002 | 0.004 | 0.001 | 0.002 | 0.004 | 0.001 | 0.0 | 0.0 | 0.001 | 0.001 | 0.001 | 0.003 | 0.002 | 0.012 | 0.002 | 0.001 | 0.0 | 0.0 | 200.0 | 0.002 |
| basket | 0.017 | 0.003 | 0.002 | 0.001 | 0.792 | 0.017 | 2000 | 0.004 | 0.004 | 0.0 | 0.011 | 0.003 | 0.02 | 2000 | 0.003 | 0.009 | 0.003 | 900'0 | 0.01 | 0.0 | 0.001 | 0.003 | 0.003 | 0.002 | 0.003 | 0.001 | 0.01 | 9000 | 0.001 | 2000 | 0.001 | 0.002 | 0.005 |
| axe | 0.001 | 0.005 | 0.001 | 0.836 | 0.003 | 0.002 | 0.003 | 0.005 | 0.003 | 700.0 | 0.003 | 0.0 | 0.001 | 0.013 | 0.004 | 0.004 | 0.01 | 0.003 | 0.002 | 0.007 | 0.001 | 0.007 | 0.009 | 0.004 | 0.01 | 0.002 | 0.000 | 0.003 | 0.019 | 0.004 | 0.017 | 0.002 | 0.000 |
| apple | 0.024 | 0.001 | 0.903 | 0.0 | 0.003 | 0.01 | 0.001 | 0.0 | 0.003 | 0.003 | 0.002 | 0.002 | 0.0 | 0.001 | 0.004 | 0.0 | 0.002 | 0.001 | 0.001 | 0.0 | 0.0 | 0.0 | 0.002 | 0.001 | 0.0 | 0.0 | 0.0 | 0.001 | 0.0 | 0.0 | 0.0 | 0.005 | 0.001 |
| ant | 0.00 | 0.758 | 0.004 | 0.012 | 200.0 | 0.003 | 0.005 | 800.0 | 0.028 | 0.002 | 0.007 | 0.013 | 0.000 | 0.012 | 910.0 | 0.003 | 0.015 | 0.049 | 0.023 | 0.003 | 0.002 | 0.015 | 0.017 | 0.015 | 0.011 | 0.002 | 0.045 | 0.004 | 0.005 | 0.003 | 0.004 | 0.003 | 0.003 |
| alarm | 0.769 | 0.004 | 0.028 | 0.002 | 0.014 | 0.012 | 0.007 | 0.0 | 0.014 | 0.001 | 0.003 | 0.017 | 0.005 | 9000 | 0.007 | 0.001 | 0.014 | 0.001 | 0.003 | 0.0 | 0.0 | 0.001 | 0.003 | 0.00 | 0.002 | 0.001 | 9000 | 0.004 | 0.001 | 0.003 | 0.001 | 0.003 | 0.002 |
| | alarm clock | ant | apple | axe | basket | birthday cake | book | broom | butterfly | candle | diamond | exe | fireplace | flower | frying pan | hot air balloon | leaf | motorbike | octopus | pencil | rainbow | rifle | snake | sun | table | The Eiffel Tower | The Great Wall of China | The Mona Lisa | toothbrush | tornado | umbrella | wine bottle | wine glass |

Tabelle 1: Konfustionsmatrix für Validierungsdaten (Berechnungen entsprechen dem neuronalen Netz mit ID 6 in Abbildung 9)

B Quellcode: Compiler

```
#-----#
                       Erstellt von Eric Ceglie
3 #-----
4 #
5 # Beschreibung:
6 # - Erstellt aus den von Google zu verfuegung gestellten Rohdaten
      einen fuer das Programm Training.py geeigneten Datensatz
    - Rohdaten muessen im full_simplified_NAME.ndjson Format sein
    - Rohdaten lassen auf der folgenden Seite Herunterladen:
    https://console.cloud.google.com/storage/browser/quickdraw_dataset
10 #
11 # /full/simplified
12 # - Rohdaten muessen sich im durch data_raw_dir angegebenen Pfad befinden
13 # - Erstellter Datensatz wird im durch data_compiled_dir angegebenen Pfad
     abgespeichert
# - Aufloesung der Bilder im Datensatz laesst sich beliebig einstellen
17 #-----#
20 import torch
21 import ndjson
22 import random
23 import numpy as np
24 import os
25 import pickle
26 import cv2
29 #-----#
data_amount = int(5*(10**5)) # Datenmaenge
33 img_dim = (32, 32) # Aufloesung der Bilder mit Format: (Breite, Hoehe)
35 # Testet, ob die angegebene data_amount fuer den PC nicht zu hoch ist (
     Fehlermeldung, wenn zu hoch)
data_inputs = torch.zeros(data_amount, 1, img_dim[0], img_dim[1])
37 del data_inputs
39 data_compiled_dir = "QD_data_compiled/" # Pfad des Ordners, indem die Datensaetze
     abgespeichert werden sollen
40 data_raw_dir = "QD_data_raw/" # Pfad des Ordners, indem die Rohdaten enthalten
     sind
42 data_raw = []
43 data_names = []
```

```
46 #-----#
48 # Funktion zum Laden der Rohdaten definieren
49 def laden():
51
      # globale Variabeln aufrufen
      global data_names
52
      global data_raw
53
      global data_amount
54
      # QD_Daten Ordner oeffnen und jede Datei mit zugehoerigem Namen (label) zum
56
      Datensatz hinzufuegen
      files_num = len(next(os.walk(data_raw_dir))[2])
                                                               # Anzahl Dateien in
      data_raw_dir
      print(2*"\n" + "Anzahl verschiedener Gegenstaende: " + str(files_num) + 2*"\n"
59
      with os.scandir(data_raw_dir) as Eintraege:
          i = 1
60
          for Eintrag in Eintraege:
                                                               # Jeden Eintrag einzel
       durchgehen und zum Datensatz hinzufuegen
              with open(data_raw_dir + Eintrag.name) as f:
62
                  data_raw_new = ndjson.load(f)
63
              f.close()
65
              # Alle Bilder, die nicht erkannt wurden werden hier aussortiert
66
67
              while j < int(data_amount/files_num):</pre>
68
                  if not data_raw_new[i]["recognized"]:
69
70
                      del data_raw_new[i]
                  else:
71
                      j += 1
72
              del j
73
              # ueberschuessige Daten loeschen
75
              if i != files_num:
76
                  del data_raw_new[(int(data_amount/files_num)):]
77
              else:
                  del data_raw_new[(data_amount-len(data_raw)):]
80
              data_raw += data_raw_new
81
82
              del data_raw_new
              print("Anzahl momentan vorhandener Bilder im Datensatz :\t", len(
      data_raw))
              data_names.append(Eintrag.name.replace("full_simplified_","").replace(
84
      ".ndjson",""))
              i += 1
85
      del i
      del files_num
```

```
del Eintraege
       data_amount = len(data_raw)
90
       # Datensatz zufaellig anordnen
91
       random.shuffle(data_raw)
92
94
       # im Datensatz vorhandene Gegenstaende ausgeben
       print(2*"\n")
95
       names_str = ""
96
       for i in range(len(data_names)):
97
           names_str += data_names[i]
           if i != (len(data_names)-1):
99
               names_str += ", "
100
       print("Vorhandene Gegenstaende:\n" + names_str)
101
       del names_str
       print(2*"\n")
104
105
# Bresenham Line Algorithmus definieren
def bresenham_line(x1, y1, x2, y2):
108
       deltax = x2 - x1
109
      deltay = y2 - y1
111
       steep = abs(deltay) > abs(deltax)
113
      if steep:
114
          x1, y1 = y1, x1
115
           x2, y2 = y2, x2
117
       swapped = False
118
      if x1 > x2:
119
           x1, x2 = x2, x1
120
           y1, y2 = y2, y1
           swapped = True
122
123
       deltax = x2 - x1
124
125
      deltay = y2 - y1
126
       error = int(deltax / 2.0)
127
       ystep = 1 if y1 < y2 else -1
128
129
       y = y1
       points = []
131
       for x in range(x1, x2 + 1):
132
           coord = (y, x) if steep else (x, y)
133
           points.append(coord)
           error -= abs(deltay)
        if error < 0:</pre>
136
```

```
y += ystep
137
                error += deltax
139
       if swapped:
140
141
           points.reverse()
       return points
144
145 # data_raw auf data_inputs & data_labels uebertragen und umschreiben (compiling)
146 def kompilieren():
       # Input & Label Tensoren erstellen (mit 0 gefuellt)
148
       global data_inputs
149
       global data_labels
       data_inputs = torch.zeros(data_amount, 1, img_dim[0], img_dim[1])
       data_labels = torch.zeros(data_amount, len(data_names))
       randomList = list(range(data_amount))
       random.shuffle(randomList)
       for i in randomList:
157
           data_inputs_new = torch.zeros(1, 256, 256)
158
           data_labels_new = torch.zeros(len(data_names))
           for stroke in data_raw[i]["drawing"]:
               x0 = stroke[0][0]
162
               y0 = stroke[1][0]
163
164
                for j in range(0, len(stroke[0])):
                   x1 = stroke[0][j]
                    y1 = stroke[1][j]
167
                    line = bresenham_line(x0, y0, x1, y1) # für Resultat ohne Linie
168
       bresenham\_line(x0, y0, x1, y1) \ ersetze \ mit: \ [(x1, y1)]
                    for xp, yp in line:
                        data_inputs_new[0][yp][xp] = 1
170
                    x0 = x1
171
                    y0 = y1
           for k in range(len(data_names)):
               if data_raw[i]["word"] == data_names[k]:
                    data_labels_new[k] = 1
           np_data_input = np.zeros((1, img_dim[1], img_dim[0]))
180
           img = data_inputs_new[0].numpy()
181
           img = cv2.resize(img, img_dim, interpolation=cv2.INTER_AREA)
182
           np_data_input[0] = img
184
```

```
185
           data_inputs_new = torch.from_numpy(np_data_input).float()
187
           data_inputs[i] = data_inputs_new
           data_labels[i] = data_labels_new
           # momentanen Stand der Kompilierung ausgeben (in %)
           if z % (data_amount/100) == 0:
192
               print(str(int(100*z/data_amount)) + "% kompiliert")
193
           z += 1
196 # Funktion fuer Abspeichern der fertig kompilierten Dateien definieren
197 def speichern():
       # Daten abspeichern
       # fuer jeden Datensatz wird immer ein einzelner, neuer Ordner erstellt
       folders_existing = next(os.walk(data_compiled_dir))[1]
       folders_existing.sort(key=int)
201
       new_folder = "0"
202
203
       for i in range(len(folders_existing)):
           if new_folder == folders_existing[i]:
              new_folder = str(int(new_folder)+1)
           else:
206
               break
207
       os.mkdir(data_compiled_dir + new_folder)
       pickle.dump(data_inputs, open(data_compiled_dir + new_folder + "/data_inputs",
210
        "wb"))
       pickle.dump(data_labels, open(data_compiled_dir + new_folder + "/data_labels",
211
        "wb"))
212
       pickle.dump(data_names, open(data_compiled_dir + new_folder + "/data_names", "
       wb"))
213
       # Beschreibung des Datensatzes erstellen (als .txt file)
       data_names_txt = data_names[0]
       for i in range(len(data_names)-1):
217
           218
219
       description = "Beschreibung des Datensatzes\n\n\nDatenmänge:\t\t\t" + str(len(
       data_inputs)) + "\n\nDatenauflösung:\t\t\t" + str(img_dim[0]) + " x " + str(
       img_dim[1]) + "\n\nenthaltene Gegenstände:\t\t" + data_names_txt
       f = open(data_compiled_dir + new_folder + "/readme.txt", "w+")
       f.write(description)
       f.close()
224
225
       print(30*"\n")
226
       print("Alle Daten wurden erflogreich unter " + data_compiled_dir + new_folder
      + "/ abgespeichert!")
```

```
228
229
230 #------PROGRAMM-----#
231
232 # Alle vorhandenen Rohdaten laden und auf benoetigte Anzahl Daten reduzieren
233 laden()
234
235 # Daten kompilieren und skalieren
236 kompilieren()
237
238 # Dateien unter data_compiled_dir abspeichern
239 speichern()
```

 ${\bf Code}$ 5: Quellcode des Programms zur Verarbeitung der Rohdaten

C Quellcode: Training

```
#----## #ROGRAMM-----##
                        Erstellt von Eric Ceglie
3 #-----
4 #
5 # Beschreibung:
6 # - trainiert neuronale Netze auf beliebig grosse Datensaetze
      (sofern der Computer ueber genuegend Leistung verfuegt)
    - Datensaetze muessen vorher mit dem Compiler.py Programm erstellt werden
      und muss sich im Ordner mit dem durch data_compiled_dir vorgegebenen
      Pfad befinden
11 # - Anzahl der verdeckten Schichten ist beliebig einstellbar und die Anzahl
     der Neuronen in diesen Schichten laesst sich auch veraendern
13 # - Parameter der trainierten Netze werden in einen automatisch erstellten
     Ordner abgespeichert (Ordner befindet sich im Pfad, der mit nn_model_dir
     angegeben wird)
15 #
# - Zudem wird ein Graph, der die Entwicklung der Genauigkeit und des
      Fehlerwerts erstellt und abgespeichert
18 # - Es wird auch eine readme.txt Datei erstellt, die die wichtigsten
     Informationen des Trainings und des trainierten neuralen Netzes enthält
_{20} # - Bei bedarf lassen sich auch bereits trainierte neuronale Netze abrufen
    und weiter trainieren
23 #------#
26 import torch
27 import torch.nn as nn
28 import torch.nn.functional as F
29 import torch.optim as optim
30 from torch.autograd import Variable
31 import matplotlib.pyplot as plt
32 import matplotlib.animation as animation
33 from matplotlib import style
34 import cv2
35 import numpy as np
36 import pickle
37 import time
38 import os
39 import ndjson
40 import random
43 #-----#
45 start_time = time.time() # Variable, um später die Laufzeit zu berechnen
47 data_compiled_dir = "QD_data_compiled/" # Pfad des Ordners, der die Datensaetze
```

```
enthaelt
48 dataset_number = "0" # Nummer des Datensatzes
49 nn_model_dir = "nn_models/" # Pfad des Ordners, indem das trainierte NN
      abgespeichert werden soll
51 load_net = False # Gibt an, ob ein bereits trainiertes Netz abgerufen werden soll
52 nn_model_load_number = "0" # Nummer des bereits trainierten Datensatzes
53 runtime_total = 0
54 if load_net:
      data_compiled_dir = nn_model_dir + nn_model_load_number + "/"
      dataset_number = "training_data"
58 layers_connection_factor = 0.5 # Faktor, mit dem die Neuronen mit den verdeckten
      Schichten abnehmen bzw. zunehmen sollen
59 hidden_layers_num = 3 # Anzahl der verdeckten Schichten (hidden_layers_num >=0)
60 learning_rate = 0.1 # Lernrate
1 learning_momentum = 0.9 # Impuls
_{62} batch_groesse = 10 # Batch Groesse
63 dropout = True # Gibt an, ob Dropout Schichten eingebaut werden sollen
64 dropout_rate = 0.4 # Gibt die Dropout Rate an (sofern Dropout vorhanden)
65 lr_scheduler = True # Gibt an, ob ein Lernraten Zerfall stattfinden soll
66 lr_stepsize = 3 # Gibt an, nach wievielen Epochen die Lernrate mit Faktor gamma
      abnehmen soll
67 gamma = 0.8 # Faktor, mit dem die Lernrate abnehmen soll (0<gamma<1)
68 data_open_amount = 1 # Gibt an, welche Menge des Datensatzes benutzt werden soll
      (0<data_open_amount <=1)
69 training_epochen = 1000 # Gibt die maximale Anzahl der Trainingsepochen an
71 epochForGraph = []
72 lossForGraph = []
73 accuracyForGraphOnTrainingData = []
74 accuracyForGraphOnValidationData = []
76 data_amount_train = None
77 data_amount_validation = None
78 data_amount_test = None
79 nn_model_number = None
80 img_dim_flat = None
81 data_inputs = None
82 data_labels = None
83 data_names = None
84 data_inputs_validation = None
85 data_labels_validation = None
86 data_inputs_train = None
87 data_labels_train = None
88 DNA = None
89 net = None
91
```

```
92 #-----#
94 # Eine Trainingsepoche definieren
95 def training_epoche():
97
       global lossForGraph
98
       net.train()
99
100
      lossMomSum = 0
101
      randomList = list(range(int(data_amount_train/batch_groesse)))
       random.shuffle(randomList)
103
       j = 0
105
       for i in randomList:
           j += 1
           #if j % (data_amount_train/10) == 0:
108
              print(str(int(100*j/data_amount_train)) + "%")
109
           inputs = data_inputs_train[i]
           labels = data_labels_train[i]
112
           inputs = inputs.cuda()
113
           labels = labels.cuda()
114
           inputs = Variable(inputs)
115
           labels = Variable(labels)
117
           optimizer.zero_grad()
118
119
           outputs = net(inputs)
121
           labels = labels.long()
           labels = labels.float()
122
123
           loss = criterion(outputs, labels)
124
           loss.backward()
           optimizer.step()
126
           lossMomSum += loss.item()
128
129
       if lr_scheduler:
130
           scheduler.step()
131
132
       lossForGraph.append(lossMomSum / (data_amount_train/batch_groesse))
133
136 def laden():
137
       global data_amount_train
138
       global data_amount_validation
   global data_amount_test
140
```

```
global nn_model_number
141
       global data_inputs
       global data_labels
143
       global data_names
144
145
       global data_inputs_validation
       global data_labels_validation
       global data_inputs_train
       global data_labels_train
148
       global img_dim_flat
149
       global epochForGraph
150
       global lossForGraph
       global accuracyForGraphOnTrainingData
       {\tt global} \ \ {\tt accuracyForGraphOnValidationData}
       global runtime_total
       # für jedes nn Model wird immer ein einzelner, neuer Ordner erstellt
       folders_existing = next(os.walk(nn_model_dir))[1]
158
       folders_existing.sort(key=float)
       nn_model_number = "0"
159
       for i in range(len(folders_existing)):
            if nn_model_number == folders_existing[i]:
161
                nn_model_number = str(int(nn_model_number)+1)
162
           else:
163
                break
       if load_net:
166
167
           try:
               runtime_total = pickle.load(open(data_compiled_dir + "/runtime_total",
168
        "rb"))
           except:
170
               pass
171
       # Daten öffnen
       data_inputs = pickle.load(open(data_compiled_dir + dataset_number + "/
       data_inputs", "rb"))
       data_labels = pickle.load(open(data_compiled_dir + dataset_number + "/
174
       data_labels", "rb"))
       data_names = pickle.load(open(data_compiled_dir + dataset_number + "/
       data_names", "rb"))
       if not load_net:
           data_inputs_train = data_inputs[:int(0.8*len(data_inputs))]
           data_labels_train = data_labels[:int(0.8*len(data_inputs))]
180
           data_inputs_validation = data_inputs[int(0.8*len(data_inputs)):int(0.9*len
181
       (data_inputs))]
182
           data_labels_validation = data_labels[int(0.8*len(data_inputs)):int(0.9*len
       (data_inputs))]
183
```

```
data_inputs_test = data_inputs[int(0.9*len(data_inputs)):]
           data_labels_test = data_labels[int(0.9*len(data_inputs)):]
186
       else:
187
           data_inputs_train = data_inputs
           data_labels_train = data_labels
           data_inputs_validation = pickle.load(open(data_compiled_dir + "
191
       validation_data" + "/data_inputs", "rb"))
           data_labels_validation = pickle.load(open(data_compiled_dir + "
192
       validation_data" + "/data_labels", "rb"))
193
           data_inputs_test = pickle.load(open(data_compiled_dir + "test_data" + "/
194
       data_inputs", "rb"))
           data_labels_test = pickle.load(open(data_compiled_dir + "test_data" + "/
       data_labels", "rb"))
196
197
           epochForGraph = pickle.load(open(data_compiled_dir + "graph/GraphEpoch", "
       rb"))
           lossForGraph = pickle.load(open(data_compiled_dir + "graph/GrapchLoss", "
       rb"))
           accuracyForGraphOnTrainingData = pickle.load(open(data_compiled_dir + "
199
       graph/GrapchAccuracyTrain", "rb"))
           accuracyForGraphOnValidationData = pickle.load(open(data_compiled_dir + "
200
       graph/GraphAccuracyVal", "rb"))
201
       if data_open_amount != 1:
202
203
           data_inputs_train = data_inputs_train[:int(data_open_amount*len(
       data_inputs_train))]
           data_inputs_test = data_inputs_test[:int(data_open_amount*len(
       data_inputs_test))]
           data_inputs_validation= data_inputs_validation[:int(data_open_amount*len(
205
       data_inputs_validation))]
       print("Anzahl Trainingsdaten geladen:\t\t", len(data_inputs_train))
207
       print("Anzahl Validierungsdaten geladen:\t", len(data_inputs_validation))
208
209
       print("Anzahl Testdaten geladen:\t\t\t", len(data_inputs_test))
       data_amount_train = len(data_inputs_train)
211
       data_amount_validation = len(data_inputs_validation)
212
       data_amount_test = len(data_inputs_test)
       img_dim = (len(data_inputs_train[0][0]), len(data_inputs_train[0][0][0]))
       img_dim_flat = img_dim[0]*img_dim[1]
216
       print("Daten wurden geladen")
217
218
       # Neuen Ordner fuer das nn Model erstellen und alle Daten dort nochmal
       abspeichern (fuer zukuenftige uebersicht)
       os.mkdir(nn_model_dir + nn_model_number)
220
```

```
os.mkdir(nn_model_dir + nn_model_number + "/training_data")
       os.mkdir(nn_model_dir + nn_model_number + "/validation_data")
       os.mkdir(nn_model_dir + nn_model_number + "/test_data")
       pickle.dump(data_inputs_train, open(nn_model_dir + nn_model_number + "/
225
       training_data/data_inputs", "wb"))
       pickle.dump(data_labels_train, open(nn_model_dir + nn_model_number + "/
226
       training_data/data_labels", "wb"))
       pickle.dump(data_names, open(nn_model_dir + nn_model_number + "/training_data/
227
       data_names", "wb"))
       pickle.dump(data_inputs_validation, open(nn_model_dir + nn_model_number + "/
       validation_data/data_inputs", "wb"))
       pickle.dump(data_labels_validation, open(nn_model_dir + nn_model_number + "/
230
       validation_data/data_labels", "wb"))
       pickle.dump(data_names, open(nn_model_dir + nn_model_number + "/
       validation_data/data_names", "wb"))
       pickle.dump(data_inputs_test, open(nn_model_dir + nn_model_number + "/
233
       test_data/data_inputs", "wb"))
       pickle.dump(data_labels_test, open(nn_model_dir + nn_model_number + "/
234
       test_data/data_labels", "wb"))
       pickle.dump(data_names, open(nn_model_dir + nn_model_number + "/test_data/
235
       data_names", "wb"))
       os.mkdir(nn_model_dir + nn_model_number + "/graph")
238
       # Daten in einzelne Batches aufteilen
       data_inputs_train_new = []
241
       data_labels_train_new = []
       for i in range(int(data_amount_train/batch_groesse)):
242
           data_inputs_train_new.append(data_inputs_train[i*batch_groesse:(i+1)*
       batch_groesse])
           data_labels_train_new.append(data_labels_train[i*batch_groesse:(i+1)*
       batch_groesse])
       data_inputs_train = data_inputs_train_new
245
246
       data_labels_train = data_labels_train_new
249 def net_eval_accuracy():
251
       {\tt global} \ \ {\tt accuracyForGraphOnValidationData}
       {\tt global} \  \, {\tt accuracyForGraphOnTrainingData}
       net.eval()
254
255
       accuracy = []
256
       for i in range(len(data_inputs_validation)):
           inputs = Variable(data_inputs_validation[i].cuda())
```

```
outputs = net(inputs).detach().cpu().numpy()[0].tolist()
           target_guess = outputs.index(min(outputs, key=lambda x:abs(x-1)))
261
           target_real = data_labels_validation[i].numpy().tolist().index(1)
262
           if target_real == target_guess:
               accuracy.append(1)
           else:
266
               accuracy.append(0)
267
       accuracy = sum(accuracy)/len(accuracy)
268
       accuracyForGraphOnValidationData.append(accuracy)
270
       del accuracy
271
       accuracy = []
       for i in range(len(data_inputs_validation)):
           b = i//batch_groesse
           inputs = Variable(data_inputs_train[b][i%batch_groesse].cuda())
275
           outputs = net(inputs).detach().cpu().numpy()[0].tolist()
277
           target_guess = outputs.index(min(outputs, key=lambda x:abs(x-1)))
           target_real = data_labels_train[b][i%batch_groesse].numpy().tolist().index
       (1)
280
           if target_real == target_guess:
               accuracy.append(1)
           else:
283
               accuracy.append(0)
284
       accuracy = sum(accuracy)/len(accuracy)
285
       accuracyForGraphOnTrainingData.append(accuracy)
       del accuracy
289 #-----#
291 # Netz als Klasse erstellen
292 class Net(nn.Module):
293
       def __init__(self):
294
           super(Net, self).__init__()
           self.layers_connection_factor = layers_connection_factor
           self.hidden_layers_num = hidden_layers_num
297
           self.input_layer_size = img_dim_flat
           self.output_layer_size = len(data_names)
           # berechnung der model "DNA" bzw. der Anzahl hidden Layer und der Anzahl
       Neuronen
           self.DNA = [self.input_layer_size]
302
           for i in range(self.hidden_layers_num):
303
               self.DNA.append(int(self.input_layer_size*(self.
       layers_connection_factor**(i+1)))
```

```
self.DNA.append(self.output_layer_size)
306
           self.linear_layers = nn.ModuleList([])
307
           for i in range(len(self.DNA)-1):
308
               self.linear_layers.append(nn.Linear(self.DNA[i], self.DNA[i+1]))
309
           print("Modelstruktur:\n", self.linear_layers)
311
           self.dropout = nn.Dropout(p=dropout_rate)
312
313
       def forward(self, x):
314
           x = x.view(-1, img_dim_flat)
316
           for i in range(len(self.linear_layers)):
317
318
               if dropout:
                   x = self.dropout(x)
320
321
               x = self.linear_layers[i](x)
322
323
               if i != len(self.linear_layers)-1:
                  x = F.relu(x)
325
           return x
326
329 #-----#
330
331 laden()
333 # Netz erstellen und auf Grafikkarte übertragen
334 net = Net()
335 if load_net:
       net.load_state_dict(torch.load(nn_model_dir + nn_model_load_number + "/model")
337 net = net.cuda()
# Funktion für "Loss" Ausgabe definieren (direkt aus Pytorch)
340 criterion = nn.MSELoss()
341 #criterion = nn.CrossEntropyLoss()
343 # Funktion für Optimierung definieren (direkt aus Pytorch)
344 optimizer = optim.SGD(net.parameters(), lr=learning_rate, momentum=
      learning_momentum)
346 # Funktion für 1r decay definieren (direkt aus Pytorch)
347 scheduler = torch.optim.lr_scheduler.StepLR(optimizer, step_size=lr_stepsize,
       gamma=gamma)
349 fig, ax1 = plt.subplots()
350 ax1.set_xlabel("Epoche")
```

```
ax1.set_ylabel("Loss Wert")
ax1.plot(epochForGraph, lossForGraph, label="Loss Wert", color="red")
354 \text{ ax2} = \text{ax1.twinx()}
ax2.set_ylabel("Genauigkeit")
356 ax2.plot(epochForGraph, accuracyForGraphOnTrainingData, label="Genauigkeit für
       Trainingsdaten", color="blue")
357 ax2.plot(epochForGraph, accuracyForGraphOnValidationData, label="Genauigkeit für
       Validierungsdaten", color="green")
359 ax1.legend(loc='lower left', bbox_to_anchor=(0.0, 1.01), borderaxespad=0, frameon=
ax2.legend(loc='lower right', bbox_to_anchor=(1.01, 1.01), borderaxespad=0,
       frameon=False)
361 fig.tight_layout()
363 # Netz trainieren
364 for epoche in range(training_epochen):
       training_epoche()
       net_eval_accuracy()
368
       if len(epochForGraph) == 0:
369
           epochForGraph.append(1)
       else:
371
           epochForGraph.append(epochForGraph[-1]+1)
372
373
       # momentanen Stand des Trainings ausgeben
374
       for param_group in optimizer.param_groups:
376
          current_lr = param_group['lr']
       print("Epoche: ", epochForGraph[-1], "\t\tLoss: ", round(lossForGraph[-1], 8),
377
       "\t\tGktT: ", accuracyForGraphOnTrainingData[-1], "\t\tGktV: ",
       accuracyForGraphOnValidationData[-1], "\t\t Lr: ", '{:.2e}'.format(current_lr)
       # Model und Loss-Entwicklung zwischenspeichern
379
       torch.save(net.state_dict(), nn_model_dir + nn_model_number + "/model")
380
       ax1.plot(epochForGraph, lossForGraph, label="Loss Wert", color="red")
       ax2.plot(epochForGraph, accuracyForGraphOnTrainingData, label="Genauigkeit für
383
       Trainingsdaten", color="blue")
       384
       ür Validierungsdaten", color="green")
       plt.savefig(nn_model_dir + nn_model_number + "/model_Entwicklung.svg")
386
       plt.savefig(nn_model_dir + nn_model_number + "/model_Entwicklung.pdf")
387
388
       pickle.dump(net.DNA, open(nn_model_dir + nn_model_number + "/model_DNA", "wb")
```

```
pickle.dump(epochForGraph, open(nn_model_dir + nn_model_number + "/graph/
       GraphEpoch", "wb"))
       pickle.dump(lossForGraph, open(nn_model_dir + nn_model_number + "/graph/
391
       GrapchLoss", "wb"))
392
       pickle.dump(accuracyForGraphOnTrainingData, open(nn_model_dir +
       nn_model_number + "/graph/GrapchAccuracyTrain", "wb"))
       pickle.dump(accuracyForGraphOnValidationData, open(nn_model_dir +
393
       nn_model_number + "/graph/GraphAccuracyVal", "wb"))
394
       runtime = runtime_total + (time.time() - start_time)
395
       pickle.dump(runtime, open(nn_model_dir + nn_model_number + "/runtime_total", "
397
       wb"))
398
       # redme.txt Datei erstellen
       data_names_txt = data_names[0]
       for i in range(len(data_names)-1):
401
           data_names_txt += ",\n\t\t\t" + data_names[i+1]
402
       description = "Beschreibung des Models und Trainingsdaten\n\n"
403
       description += "Modelstruktur:\n" + str(net.linear_layers).replace("ModuleList
       (","")[:-1] + "\n\n"
       description += "Benutzte Loss Funktion:\n\n\t" + str(criterion) + "\n\n"
405
       description += "Benutzter Optimizer:\n\n\t" + str(optimizer) + "\n\n"
406
       description += "Dropout:\t\t\t" + str(dropout) + "(" + str(dropout_rate) + ")"
        + "\n\n"
       description += "lr_scheduler:\t\t" + str(lr_scheduler) + "\n\n"
408
       description += "lr_stepsize: \t \t \t " + str(lr_stepsize) + "\n \"
409
       description += "gamma:\t\t\t\t" + str(gamma) + "\n\n"
410
       description += "Model DNA:\t\t\t" + str(net.DNA) + "\n\n"
412
       description += "Epochen abgeschlossen:\t\t" + str(epochForGraph[-1]) + "\n\n"
       description += "Laufzeit:\t\t" + str(round(runtime//3600)) + ":" + str(round
413
       ((runtime//60)\%60)) + ":" + str(round(runtime\%60)) + "\n\n"
414
       description += "Trainingsdaten Mänge:\t\t" + str(data_amount_train) + "\n\n"
       description += "Validierungsdaten Mänge:\t" + str(data_amount_validation) + "\
       description += "Testdaten Mänge:\t\t" + str(data_amount_test) + "\n\n"
416
       description += "Batch Grösse:\t\t\t" + str(batch_groesse) + "\n\n"
417
       description += "Benutzter Datensatz:\t\t" + str(dataset_number) + "\n\n"
       description += "Datenauflösung:\t\t" + str(len(data_inputs_train[0][0][0]))
       + " x " + str(len(data_inputs_train[0][0][0][0])) + "\n\n"
       description += "enthaltene Gegenstände:\t\t" + data_names_txt
420
       f = open(nn_model_dir + nn_model_number + "/readme.txt", "w+")
       f.write(description)
       f.close()
424
425
427 print("Training erfolgreich beendet!")
```

Code 6: Quellcode des Programms für das Training eines neuronalen Netzes

D Quellcode: Berechnung einer Konfusionsmatrix

```
#----# #POGRAMM-----#
                       Erstellt von Eric Ceglie
3 #-----
5 # Beschreibung:
6 # - Erstellt eine Konfusionsmatrix eines beliebigen neuronalen Netzes
7 # - Kann entwerde fuer Trainings-, Test- oder Validierungsdaten
     ausgewertet werden
9 # - Ausgabe in From einer .txt Datei, die eine Tabelle und die
10 # durchschnittliche Genauigkeit enthaelt
12 #-----#
15 import torch
16 import torch.nn as nn
17 import torch.nn.functional as F
18 import torch.optim as optim
19 from torch.autograd import Variable
20 import matplotlib.pyplot as plt
21 import matplotlib.animation as animation
22 from matplotlib import style
23 import cv2
24 import numpy as np
25 import pickle
26 import imageio
27 import ndjson
28 import random
29 from tabulate import tabulate
32 #-----#
34 nn_model_dir = "nn_models/" # Pfad des Ordners, indem sich die trainierten
     neuronalen Netze befinden
35 nn_model_number = "0" # Nummer des neuronalen Netzes
37 test_on = "validation_data" # Gibt an, fuer welche Daten eine Konfusionsmatrix
   erstellte werden soll
38 #(zur Auswahl stehen: "training_data", "test_data", "validation_data")
40 data_inputs = None
41 data_labels = None
42 data_names = None
43 DNA = None
44 net = None
45 Konfusionsmatrix = None
```

```
47 accuracy = {}
50 #----#
52 # Netz als Klasse erstellen
53 class Net(nn.Module):
      def __init__(self):
55
         super(Net, self).__init__()
          self.DNA = DNA
57
          self.linear_layers = nn.ModuleList([])
          for i in range(len(self.DNA)-1):
59
              self.linear_layers.append(nn.Linear(self.DNA[i], self.DNA[i+1]))
61
62
     def forward(self, x):
63
          x = x.view(-1, self.DNA[0])
          for i in range(len(self.linear_layers)):
66
             x = self.linear_layers[i](x)
67
              if i != len(self.linear_layers)-1:
                 x = F.relu(x)
          return x
71
72
73 #-----#
75 # alle benoetigten Dateien laden
76 def laden():
      # Daten laden
78
      global data_inputs
      global data_labels
80
     global data_names
81
82
      data_inputs = pickle.load(open(nn_model_dir + nn_model_number + "/" + test_on
      + "/data_inputs", "rb"))
      data_labels = pickle.load(open(nn_model_dir + nn_model_number + "/" + test_on
84
      + "/data_labels", "rb"))
      data_names = pickle.load(open(nn_model_dir + nn_model_number + "/" + test_on +
85
        "/data_names", "rb"))
86
      if test_on == "training_data":
87
          data_inputs = data_inputs[:int(0.125*len(data_inputs))]
88
          data_labels = data_labels[:int(0.125*len(data_labels))]
91
```

```
# model DNA laden
       global DNA
93
       DNA = pickle.load(open(nn_model_dir + nn_model_number + "/model_DNA", "rb"))
94
95
       # Netz definieren und trainierte Parameter laden
       global net
       net = Net()
       net.load_state_dict(torch.load(nn_model_dir + nn_model_number + "/model")) #
99
       map_location=torch.device('cpu') wenn keine Grafikkarte vorhanden ist
100
def net_eval_data():
       global Konfusionsmatrix
102
       # Genauigkeiten berechnen
104
       for i in range(len(data_names)):
           accuracy.update({data_names[i]:{}})
           for j in range(len(data_names)):
108
               accuracy[data_names[i]].update({data_names[j]:[]})
       data_amount = len(data_inputs)
       for i in range(data_amount):
111
           if i % (data_amount/10) == 0:
               print(str(int(100*i/data_amount)) + "%")
           outputs = net(data_inputs[i]).detach().numpy()[0].tolist()
           target_guess = outputs.index(min(outputs, key=lambda x:abs(x-1)))
           target_real = data_labels[i].numpy().tolist().index(1)
118
           accuracy[data_names[target_real]][data_names[target_guess]].append(1)
120
           for i in range(len(data_names)):
               if data_names[i] != data_names[target_guess]:
121
                   accuracy[data_names[target_real]][data_names[i]].append(0)
       # Durchschnitte berechnen
       for i in data_names:
           for j in data_names:
126
               accuracy[i][j] = sum(accuracy[i][j])/len(accuracy[i][j])
       # Konfusionsmatrix erstellen
       head = [""]
130
       for i in range(len(data_names)):
131
           head.append(data_names[i])
       Zeilen = []
       for i in range(len(data_names)):
135
           Zeilen.append([])
136
       i = 0
137
    for Eintrag in accuracy:
139
```

```
Zeilen[i].append(Eintrag)
           for name in data_names:
               #acc = round(accuracy[Eintrag][name], 3)
142
               acc = accuracy[Eintrag][name]
143
               # Alle Werte über x sollen in Latex fett dargestellt werden (bzw. die
       Diagonale soll fett dargestellt werden)
              if accuracy[Eintrag][name] < 1.1:</pre>
146
                   Zeilen[i].append(acc)
147
148
               else:
                  Zeilen[i].append(r"\textbf{" + str(acc) + "}")
           i += 1
150
           del acc
       del i
152
       Konfusionsmatrix = tabulate(Zeilen, headers=head, tablefmt="plain") # https://
       pypi.org/project/tabulate/
       #Konfusionsmatrix = tabulate(Zeilen, headers=head, tablefmt="latex_raw") # für
       Latex
       print(Konfusionsmatrix)
158 def speichern():
       description = ""
160
       description += "Konfusionsmatrix der Künstlichen Intelligenz für " + test_on +
        " Bildern:\n\n\n"
       description += Konfusionsmatrix
162
       description += "\n\nDurchschnittliche Wahrscheinlichkeit der KI für eine
163
       korrekte Schätzung: "
       average = 0
165
       for i in data_names:
166
           for j in data_names:
167
               if i == j:
                   average += accuracy[i][j]
       average = average / len(data_names)
170
172
       description += str(average)
       f = open(nn_model_dir + nn_model_number + "/accuracy_on_" + test_on + ".txt",
174
       "w+")
       #f = open(nn_model_dir + nn_model_number + "/accuracy_on_" + test_on + "_latex
175
       f.write(description)
       f.close()
177
178
180 #-----#
181
```

```
182 laden()
183

184 net_eval_data()
185

186 speichern()
```

Code 7: Quellcode des Programms zur Berechnung der Genauigkeiten eines bereits trainierten neuronalen Netzes (Ausgabe in From einer Konfusionsmatrix)

E Quellcode: Evaluierung von Daten

```
1 #----#
                        Erstellt von Eric Ceglie
3 #-----
4 #
5 # Beschreibung:
6 # - Mit diesem Programm lassen sich mit bereits trainierten neuronalen
      Netzen Daten evaluieren
    - Es koennen entweder Validierungsdaten oder komplett neue Daten auswerten
_{9} # - Komplett neue Daten sollten auf einer 256x256 grossen Leinwand
    gezeichnet werden und es sollte ein Pinsel mit 1 Pixel Durchmesser
10 #
11 #
    verwendet werden
_{12} # - Ich empfehle das Programm paint.net zum erstellen von neuen Daten
_{13} # - Fuer beste Ergebnisse, sollten neue Daten zudem so gross wie moeglich
    gezeichnet werden
_{15} # - Komplett neue Daten muessen als "myDrawing.png" im Ordner, wo sich auch
      dieses Programm befindet abgespeichert werden
21 import torch
22 import torch.nn as nn
23 import torch.nn.functional as F
24 import torch.optim as optim
_{\rm 25} from torch.autograd import Variable
26 import matplotlib.pyplot as plt
27 from matplotlib import style
28 import cv2
29 import numpy as np
30 import pickle
31 import imageio
32 import time
33 import ndjson
34 import random
37 #-----#
39 nn_model_dir = "nn_models/" # Gibt den Pfad an, indem sich die trainierten
     neuronalen Netze befinden
40 nn_model_number = "0" # Gibt die Nummer des neuronalen Netzes an
41 eval_new_data = True # Gibt an, ob komplett neue Daten evaluiert werden sollen
44 #-----#
46 # Netz als Klasse erstellen
```

```
47 class Net(nn.Module):
      def __init__(self):
49
          super(Net, self).__init__()
50
          self.DNA = DNA
51
          self.linear_layers = nn.ModuleList([])
53
          for i in range(len(self.DNA)-1):
              self.linear_layers.append(nn.Linear(self.DNA[i], self.DNA[i+1]))
54
55
      def forward(self, x):
56
          x = x.view(-1, self.DNA[0])
58
          for i in range(len(self.linear_layers)):
59
              x = self.linear_layers[i](x)
60
              if i != len(self.linear_layers)-1:
                  x = F.relu(x)
62
63
          return x
64
65
66 #-----#
68 def laden():
69
      # Daten laden
70
71
      global data_inputs
      global data_labels
72
      global data_names
73
74
75
76
      data_inputs = pickle.load(open(nn_model_dir + nn_model_number + "/
      validation_data/data_inputs", "rb"))
      data_labels = pickle.load(open(nn_model_dir + nn_model_number + "/
      validation_data/data_labels", "rb"))
      data_names = pickle.load(open(nn_model_dir + nn_model_number + "/
      validation_data/data_names", "rb"))
79
      # im Datensatz vorhandene Gegenstaende ausgeben
80
      print(2*"\n")
      names_str = ""
82
      for i in range(len(data_names)):
83
          names_str += data_names[i]
84
85
          if i != (len(data_names)-1):
              names_str += ", \n"
      print("Vorhandene Gegenstaende:\n\n" + names_str)
      del names_str
88
89
      # model DNA laden
90
      global DNA
      DNA = pickle.load(open(nn_model_dir + nn_model_number + "/model_DNA", "rb"))
```

```
93
       # Netz definieren und trainierte Parameter laden
       global net
95
       net = Net()
96
       net.load_state_dict(torch.load(nn_model_dir + nn_model_number + "/model",
97
       map_location=torch.device('cpu'))) # map_location=torch.device('cpu') wenn
       keine Grafikkarte vorhanden ist
98
99 def net_eval_my_data():
       plt.clf()
100
       img = imageio.imread("myDrawing.png")
       img = img[:,:,0]
       img = img.astype('float64')
104
       for i in range(len(img)):
           for j in range(len(img[i])):
               img[i][j] = 255 - img[i][j]
108
               img[i][j] = img[i][j] / 255
       inputs_dim = (len(data_inputs[0][0]), len(data_inputs[0][0][0]))
111
       img = cv2.resize(img, (inputs_dim), interpolation=cv2.INTER_AREA)
       img = torch.from_numpy(img)
       img = img.float()
       inputs = img
116
       outputs = net(inputs).detach().numpy()[0].tolist()
       target = outputs.index(min(outputs, key=lambda x:abs(x-1)))
118
       #print(data_names)
120
       #print(outputs)
121
       TextString = "Meine Vermutung ist: " + data_names[target]
       #TextString += "\n(Output Wert: " + str(outputs[target]) + ")"
       props = dict(boxstyle='round', facecolor=(0.4,0.4,0.4), alpha=0.9)
       plt.text(2, -3, TextString, fontsize=12, color=(0.9,0.9,0.9),
126
           verticalalignment='center_baseline', bbox=props)
       plt.imshow(img, cmap="gray")
       plt.axis("off")
130
131
       plt.show(block=False)
       plt.pause(1)
def net_eval_validation_data():
       r = random.randint(0, len(data_inputs)-1)
136
       img = data_inputs[r].numpy()
137
       outputs = net(data_inputs[r]).detach().numpy()[0].tolist()
139
```

```
plt.imshow(img[0], cmap="gray")
       plt.axis("off")
141
142
       target = outputs.index(min(outputs, key=lambda x:abs(x-1)))
143
       #print(data_names)
144
       #print(outputs)
146
      TextString = "Meine Vermutung ist: " + data_names[target]
147
       #TextString += "\n(Output Wert: " + str(outputs[target]) + ")"
148
       #print(TextString)
149
      props = dict(boxstyle='round', facecolor=(0.4,0.4,0.4) , alpha=0.9)
151
       {\tt plt.text(2, -3, TextString, fontsize=12, color=(0.9, 0.9, 0.9),}
152
           verticalalignment='center_baseline', bbox=props)
       plt.show()
#-----#
# Validierungsdaten und das neuronale Netz laden
160 laden()
# selbst gezeichnete Daten testen
163 while eval_new_data:
      net_eval_my_data()
# beim Training benutzte Daten testen
while not eval_new_data:
net_eval_validation_data()
```

Code 8: Quellcode des Programms zur Evaluierung von beliebigen Daten